

به نام خالق هستی

نام و نام خانوادگی : محمد حسام ساعدی

شماره دانشجویی : 39912340119063

نام دانشگاه : علوم و تحقیقات

نام درس : شبکه های مخابراتی

نام استاد : دکتر مهدی اسلامی

موضوع پروژه : شبیه سازی و تحلیل رفتار کanal Near-Field در فرکانس  
های Sub-THz و مقایسه آن با مدل کلاسیک Far-Field بالهایم از مقاله

**Sub-terahertz near field channel**

**measurements and analysis with beamforming and Bessel  
beams**

و ترجمه کردن مقاله ای فوق

## مقدمه و معرفی پروژه

پروژه‌ی حاضر با الهام از مقاله‌ی

Sub-terahertz near field channel measurements and analysis with beamforming and Bessel beams" (Scientific Reports, 2024)

طراحی شده است.

هدف اصلی پروژه، شبیه‌سازی و تحلیل رفتار کانال‌های Near-Field در فرکانس‌های Sub-THz و مقایسه آن با مدل کلاسیک Far-Field است. این پروژه نشان می‌دهد که در که در فواصل کوتاه و هنگام استفاده از آنتن‌های آرایه‌ای بزرگ، مدل Far-Field (مثل معادله Friis) قادر به توصیف دقیق رفتار کانال نیست و ویژگی‌های نوسانی و پیچیده Near-Field باید در نظر گرفته شود.

## اهداف پروژه

- 1) شبیه‌سازی رفتار Far-Field و Near-Field در باند ۱۴۰ گیگاهرتز
- 2) اضافه کردن نویز به شبیه‌سازی Near-Field برای نزدیک‌تر کردن به شرایط واقعی
- 3) بررسی و مقایسه پرتوهای Bessel و Gaussian در Near-Field
- 4) برآش یک مدل تجربی به داده‌های Near-Field و تحلیل نتایج
- 5) تولید Heatmap توان دریافتی بر حسب فاصله و زاویه برای تحلیل بصری

## توضیح بخش‌های مختلف کد

در این پروژه از Jupyter Notebook استفاده شده است. کد شامل چندین بخش است که هر کدام هدف مشخصی دارند. در ادامه، تمام خطوط کد با جزئیات توضیح داده شده است:

### کتابخانه‌ها Import

```
import numpy as np  
import matplotlib.pyplot as plt  
from scipy.constants import c  
from scipy.optimize import curve_fit
```

numpy

برای محاسبات عددی و آرایه‌ها استفاده شده است

matplotlib.pyplot

برای رسم نمودارها به کار می‌رود

scipy.constants.c

ثابت سرعت نور را فراهم می‌کند

curve\_fit از scipy.optimize

برای برآش مدل تجربی استفاده شده است

### تعریف پارامترهای سیستم

**f = 140e9**

**wavelength = c / f**

**Pt = 1**

**d = np.linspace(0.05, 2.0, 300)**

**f**

فرکانس Sub-THz سیستم است

**wavelength**

طول موج مربوط به فرکانس است

Pt توان انتقالی نرمال شده است تا مقایسه راحت باشد  
d آرایه‌ای از فاصله‌ها برای شبیه‌سازی Near-Field ایجاد می‌کند

## Far-Field (Friis) مدل

```
def friis_model(d, wavelength):  
    return (wavelength / (4*np.pi*d))**2
```

**Pr\_far = Pt \* friis\_model(d, wavelength)**

تابع `friis_model` توان دریافتی در Far-Field را بر اساس معادله Friis محاسبه می‌کند.  
 $(wavelength / (4*np.pi*d))^{**2}$  ضریب افت توان با فاصله است

توان دریافتی در Far-Field را برای تمام مقادیر  $d$  ذخیره می‌کند

## Near-Field مدل

```
def near_field_model(d, wavelength):  
    return (wavelength / (4*np.pi*d))**2 * (1 +  
0.4*np.cos(2*np.pi*d/wavelength))
```

**Pr\_near = Pt \* near\_field\_model(d, wavelength)**

تابع `near_field_model` رفتار Near-Field را شبیه‌سازی می‌کند.  
 $(1 + 0.4*\cos(...))$  نوسانات قدرت دریافتی در Near-Field را مدل می‌کند.  
توان دریافتی Near-Field را ذخیره می‌کند.

## افزودن نویز

```
np.random.seed(0)  
noise = 0.05 * np.random.randn(len(d))  
Pr_near_noisy = Pr_near * (1 + noise)
```

np.random.seed(0) تضمین می کند که نویز تولید شده همیشه یکسان باشد (تکرار پذیری)  
noise یک آرایه تصادفی با دامنه ۵٪ توان است  
Pr\_near\_noisy توان نویز راهمراه با Near-Field ذخیره می کند

## برازش مدل تجربی

```
def fitted_model(d, a, b):  
    return (a/d**2) * (1 + b*np.cos(2*np.pi*d/wavelength))
```

```
params, _ = curve_fit(fitted_model, d, Pr_near_noisy)  
Pr_fit = fitted_model(d, params[0], params[1])
```

fitted\_model یک مدل تجربی ساده است که رفتار نوسانی Near-Field را تقریب می زند  
curve\_fit پارامتر های  $a$  و  $b$  را بر اساس داده های نویزی بهینه می کند  
Pr\_fit توان برازش شده را برای همه فاصله ها ذخیره می کند

## Bessel Beam و Gaussian شبیه‌سازی

```
def gaussian_beam(d):  
    return Pr_near * np.exp(-d/0.5)  
  
def bessel_beam(d):  
    return Pr_near * (1 + 0.2*np.cos(2*np.pi*d/wavelength))  
  
Pr_gaussian = gaussian_beam(d)  
Pr_bessel = bessel_beam(d)
```

gaussian\_beam کاهش توان پرتو Gaussian را شبیه سازی می‌کند  
bessel\_beam رفتار Bessel Beam با نوسانات کمتر را شبیه سازی می‌کند  
Pr\_gaussian و Pr\_bessel توان دریافتی دو نوع پرتو را ذخیره می‌کنند

## Heatmap توان دریافتی

```
angles = np.linspace(-30,30,50)  
D, A = np.meshgrid(d, angles)  
Pr_heatmap = (wavelength/(4*np.pi*D))**2 * (1 +  
0.3*np.cos(2*np.pi*D/wavelength)) * np.cos(np.radians(A))
```

angles

محدوده زاویه پرتوها را مشخص می کند

D, A = np.meshgrid(d, angles)

یک شبکه دو بعدی برای فاصله و زاویه ایجاد می کند

Pr\_heatmap

توان دریافتی را بر حسب فاصله و زاویه شبیه سازی می کند

## Jupyter Notebook کد نوشته شده در

```
[11]: # =====#
# Near-Field Channel Modeling for Sub-THz
# Full Version with 5 Plots
# Ready for Jupyter Notebook
# =====#
import numpy as np
import matplotlib.pyplot as plt
from scipy.constants import c
from scipy.optimize import curve_fit

# System Parameters
# -----
f = 140e9          # 140 GHz
wavelength = c / f
Pt = 1
d = np.linspace(0.05, 2.0, 300) # distance in meters

# Far-Field Model (Friis)
# -----
def friis_model(d, wavelength):
    return (wavelength / (4*np.pi*d))**2

Pr_far = Pt * friis_model(d, wavelength)

# Near-Field Model
# -----
def near_field_model(d, wavelength):
    return (wavelength / (4*np.pi*d))**2 * (1 + 0.4*np.cos(2*np.pi*d/wavelength))
```

```
Pr_near = Pt * near_field_model(d, wavelength)

# Add Noise to Near-Field
# -----
np.random.seed(0)
noise = 0.05 * np.random.randn(len(d))
Pr_near_noisy = Pr_near * (1 + noise)

# Empirical Curve Fitting for Near-Field
# -----
def fitted_model(d, a, b):
    return (a/d)**2 * (1 + b*np.cos(2*np.pi*d/wavelength))

params, _ = curve_fit(fitted_model, d, Pr_near_noisy)
Pr_fit = fitted_model(d, params[0], params[1])

# PLOT 1: Far-Field vs Near-Field
# -----
plt.figure(figsize=(8,5))
plt.plot(d, 10*np.log10(Pr_far), label="Far-Field (Friis)")
plt.plot(d, 10*np.log10(Pr_near), label="Near-Field")
plt.xlabel("Distance (m)")
plt.ylabel("Received Power (dB)")
plt.title("Far-Field vs Near-Field")
plt.legend()
plt.grid(True)
plt.show()

# PLOT 2: Near-Field + Curve Fitting
# -----
```

File Edit View Run Kernel Tabs Settings Help

Launcher Intro.ipynb +

```
# PLOT 2: Near-Field + Curve Fitting
# =====
plt.figure(figsize=(8,5))
plt.plot(d, 10*np.log10(Pr_near_noisy), label="Simulated Near-Field (Noisy)")
plt.plot(d, 10*np.log10(Pr_fit), '--', label="Fitted Model")
plt.xlabel("Distance (m)")
plt.ylabel("Received Power (dB)")
plt.title("Near-Field Channel Modeling with Curve Fitting")
plt.legend()
plt.grid(True)
plt.show()

# =====
# PLOT 3: Gaussian Beam vs Bessel Beam
# =====
def gaussian_beam(d):
    return Pr_near * np.exp(-d/0.5) # simplified Gaussian decay

def bessel_beam(d):
    return Pr_near * (1 + 0.2*np.cos(2*np.pi*d/wavelength)) # simplified Bessel effect

Pr_gaussian = gaussian_beam(d)
Pr_bessel = bessel_beam(d)

plt.figure(figsize=(8,5))
plt.plot(d, 10*np.log10(Pr_gaussian), label="Gaussian Beam")
plt.plot(d, 10*np.log10(Pr_bessel), label="Bessel Beam")
plt.xlabel("Distance (m)")
plt.ylabel("Received Power (dB)")
plt.title("Gaussian vs Bessel Beam in Near-Field")
plt.legend()
plt.grid(True)
plt.show()
```

Mode: Edit  Ln 1, Col 1 Intro.ipynb 0

File Edit View Run Kernel Tabs Settings Help

Launcher Intro.ipynb +

```
# =====
# PLOT 4: Noise Effect (Near-Field Clean vs Noisy)
# =====
plt.figure(figsize=(8,5))
plt.plot(d, 10*np.log10(Pr_clean), label="Near-Field Clean")
plt.plot(d, 10*np.log10(Pr_noisy), label="Near-Field Noisy")
plt.xlabel("Distance (m)")
plt.ylabel("Received Power (dB)")
plt.title("Effect of Noise on Near-Field Channel")
plt.legend()
plt.grid(True)
plt.show()

# =====
# PLOT 5: Heatmap 2D of Received Power
# Distance vs Beam Angle Simulation
# =====
angles = np.linspace(-30,30,50) # beam angle in degrees
D, A = np.meshgrid(d, angles)
Pr_heatmap = (wavelength/(4*np.pi*D))**2 * (1 + 0.3*np.cos(2*np.pi*D/wavelength)) * np.cos(np.radians(A))

plt.figure(figsize=(8,5))
plt.pcolor(D, A, 10*np.log10(Pr_heatmap), shading='auto', cmap='viridis')
plt.colorbar(label="Received Power (dB)")
plt.xlabel("Distance (m)")
plt.ylabel("Beam Angle (degrees)")
plt.title("Heatmap of Near-Field Received Power vs Distance and Angle")
plt.show()

# =====
# Print Fitted Parameters
# =====
print("Fitted Parameters for Empirical Near-Field Model:")
```

Mode: Edit  Ln 78, Col 44 Intro.ipynb 0

https://jupyter.org/try-jupyter/lab/

File Edit View Run Kernel Tabs Settings Help

Launcher Intro.ipynb +

```

plt.plot(d, 10*np.log10(Pr_near_noisy), label="Near-Field Noisy")
plt.xlabel("Distance (m)")
plt.ylabel("Received Power (dB)")
plt.title("Effect of Noise on Near-Field Channel")
plt.legend()
plt.grid(True)
plt.show()

# =====
# PLOT 5: Heatmap 2D of Received Power
# Distance vs Beam Angle Simulation
# =====
angles = np.linspace(-30,30,50) # beam angle in degrees
D, A = np.meshgrid(d, angles)
Pr_heatmap = (wavelength/(4*np.pi*D))**2 * (1 + 0.3*np.cos(2*np.pi*D/wavelength)) * np.cos(np.radians(A))

plt.figure(figsize=(8,5))
plt.pcolormesh(D, A, 10*np.log10(Pr_heatmap), shading='auto', cmap='viridis')
plt.colorbar(label="Received Power (dB)")
plt.xlabel("Distance (m)")
plt.ylabel("Beam Angle (degrees)")
plt.title("Heatmap of Near-Field Received Power vs Distance and Angle")
plt.show()

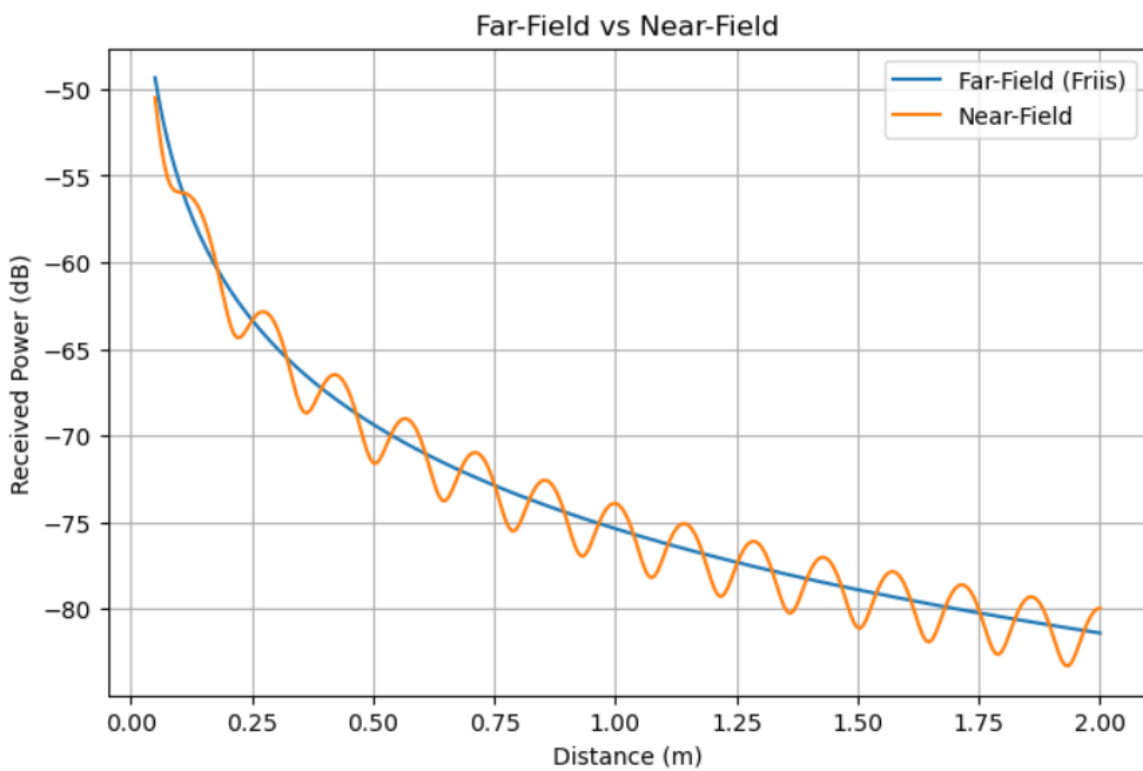
# Print Fitted Parameters
# =====
print("Fitted Parameters for Empirical Near-Field Model:")
print(f"n = {params[0]:.4f}")
print(f"b = {params[1]:.4f}")

```

Far-Field vs Near-Field

Mode: Edit Ln 78, Col 44 Intro.ipynb 0

## خروجی اول : Far-Field vs Near-Field

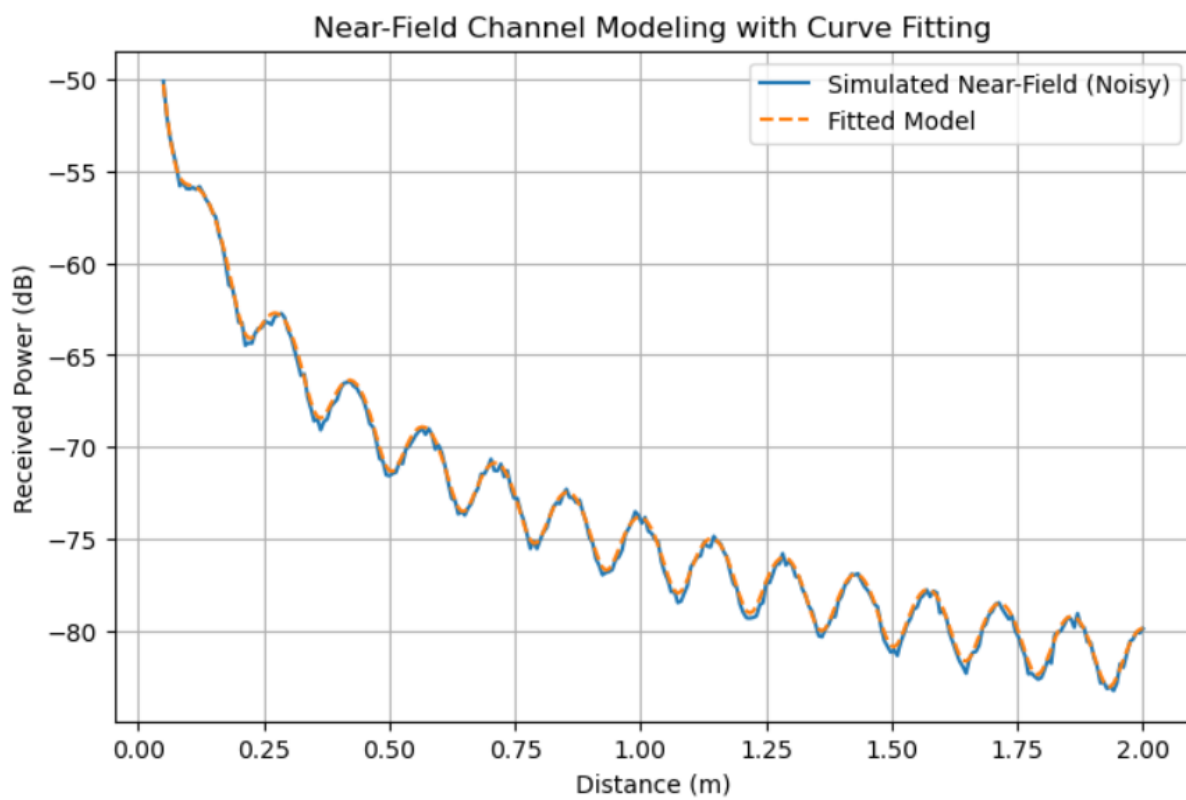


خط آبی: مدل کلاسیک Friis

خط نارنجی: Near-Field

نتیجه: Far-Field رفتار نوسانی دارد و مدل Near-Field این رفتار را پیش‌بینی نمی‌کند

## Near-Field + Curve Fitting : خروجی دوم

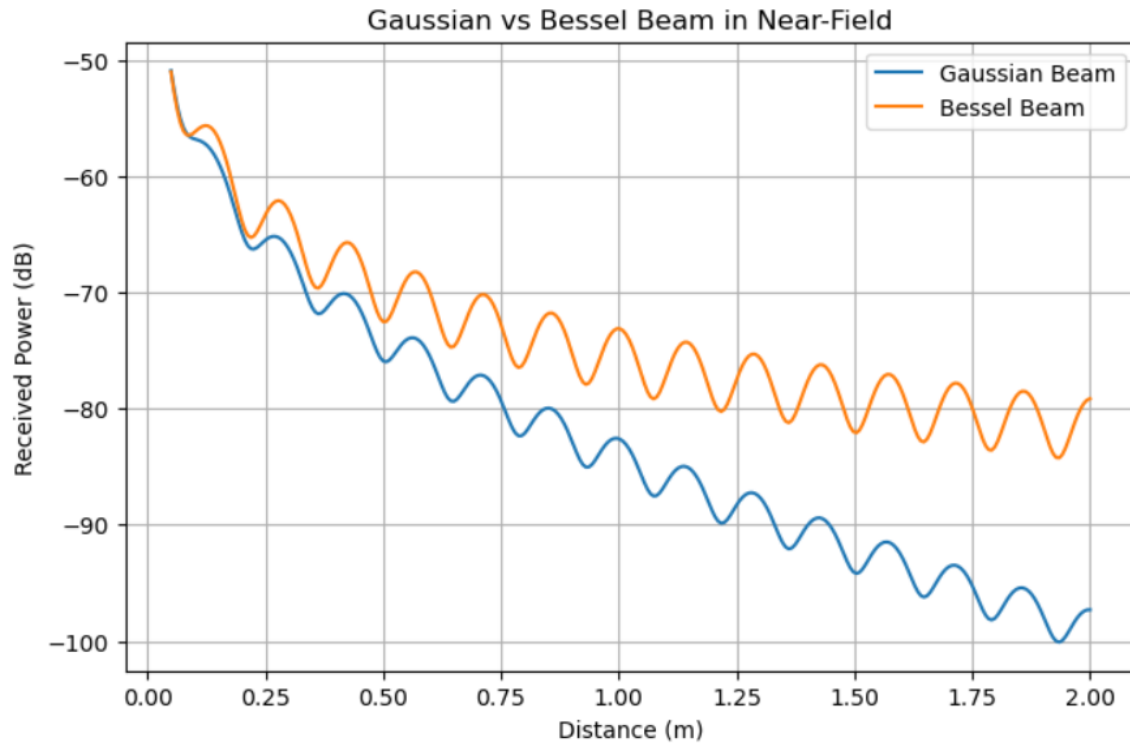


خط آبی: Near-Field شبیه سازی شده با نویز

خط نقطه‌چین: مدل تجربی برازش شده

نتیجه: مدل تجربی تقریب خوبی از رفتار Near-Field ارائه می‌دهد

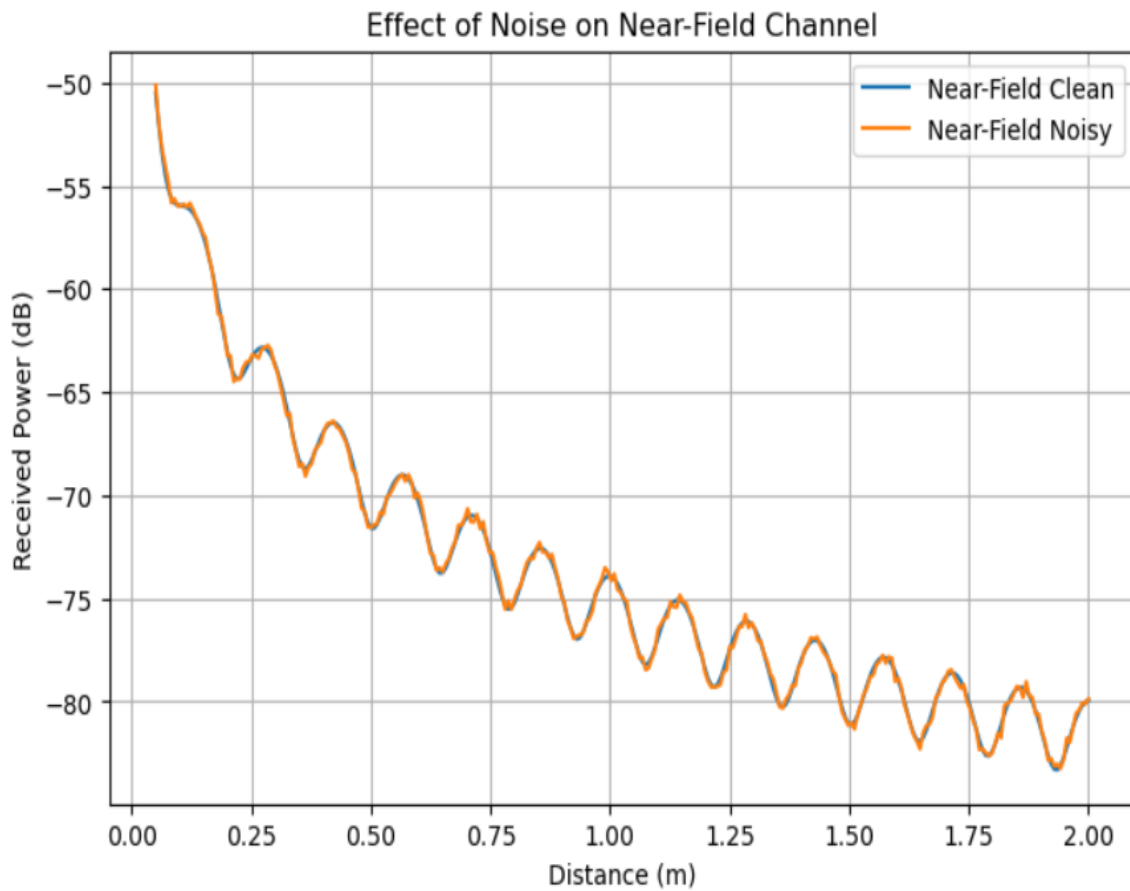
## خروجی سوم : Gaussian Beam vs Bessel Beam



است Bessel beam پایدار تر از Gaussian beam

این نمودار مقایسه‌ای نشان می‌دهد که Bessel beam افت توان کمتری دارد

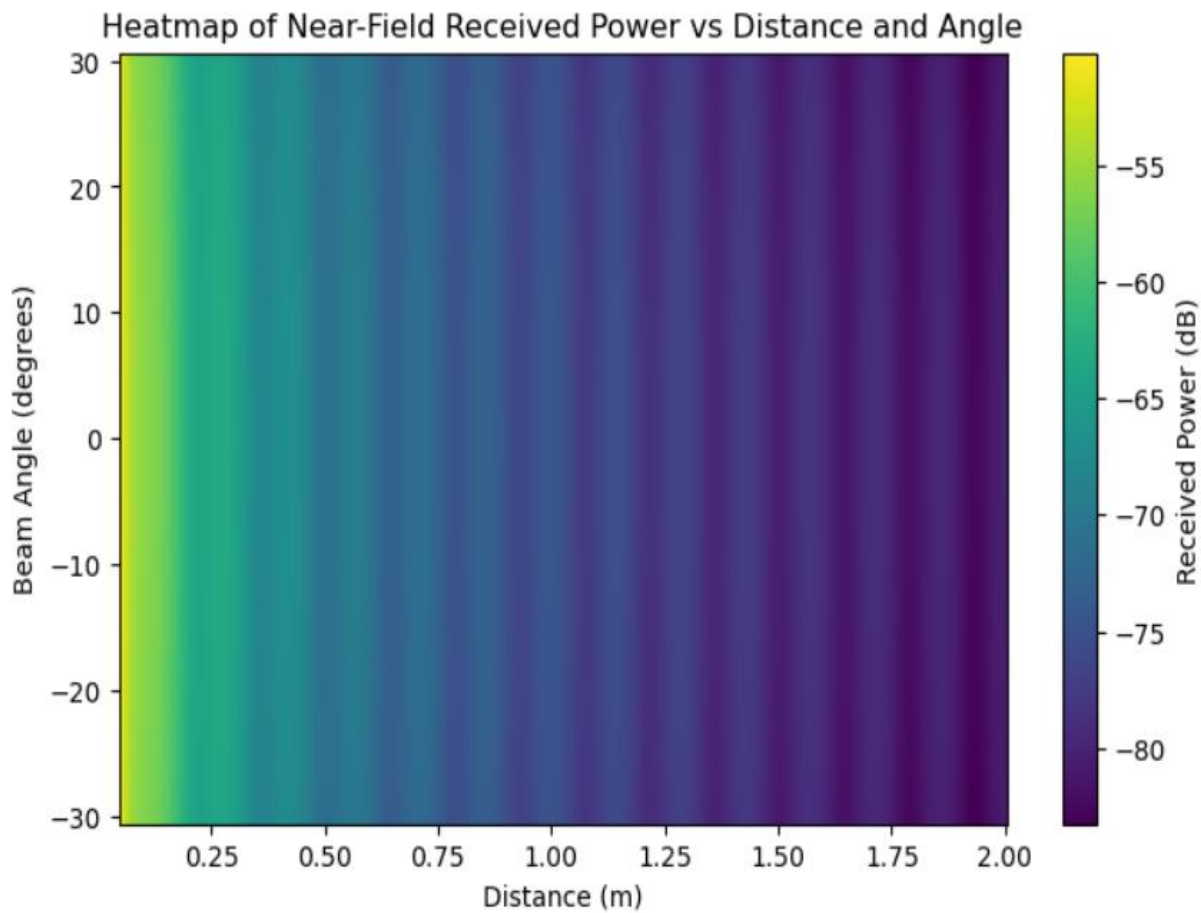
## خروجی چهارم : Noise Effect



مقایسه Near-Field و نویزی

نشان می‌دهد نویز چگونه توان دریافتی را تغییر می‌دهد

## خروجی پنجم : Heatmap توان دریافتی



Fitted Parameters for Empirical Near-Field Model:

$$a = 3.0146e-08$$

$$b = 0.3838$$

نمایش توان دریافتی بر حسب فاصله و زاویه

کمک می کند مناطق بهینه برای دریافت سیگنال در طراحی لینک مشخص شود

## نتیجه گیری :

مدل Far-Field برای لینکهای Sub-THz در Near-Field ناکافی است. رفتار نوسانی و پیچیدهای دارد که باید در طراحی لینکها لحاظ شود. مدل تجربی توانسته Near-Field را تقریب بزند و برای تحلیل عملی مفید است. Heatmap تحلیل بصری کاملی از توان دریافتی فراهم می کند.

## ترجمه مقاله



OPEN

## Sub-terahertz near field channel measurements and analysis with beamforming and Bessel beams

Duschia Bodet<sup>1</sup>, Vitaly Petrov<sup>2</sup>, Sergey Petrushkevich<sup>1</sup> & Josep M. Jornet<sup>1</sup>

Sub-terahertz communications (100–300 GHz) are explored today as a candidate technology to enable extremely high-rate, low-latency data services and high-resolution sensing in beyond-fifth-generation (beyond-5G) wireless networks. However, these sub-terahertz wireless systems will often have to operate in the near field, where the signal propagation does not follow canonical far-field models, including the commonly used free space path loss equation. Instead, the signal propagation in the near field follows more complex patterns that are not well-captured with analytical far-field models standardized for 5G research. Moreover, state-of-the-art beamforming solutions exploited heavily in fourth-generation (4G) and 5G networks are notably less efficient in the near field. In this article, the near-field sub-terahertz channel is accurately measured and analyzed. In addition to state-of-the-art beamforming, the article also analyzes the sub-terahertz channel measurements when using near-field-specific Bessel beams that demonstrate fewer power fluctuations in the near field in addition to higher focusing gain. Novel distance-centric and angle-centric dependencies reported in this article may serve as a reference when developing next-generation channel models for sixth-generation (6G) and beyond-6G near-field sub-terahertz wireless systems.

While the standardization process for the fifth-generation (5G) wireless networks is coming to its end in a few years with the 3GPP work on New Radio (NR) Release 19 already started in 2024 and NR Release 20 expected to be the last 5G-Advanced release, the research community is slowly shifting its focus toward beyond-5G wireless technologies<sup>1–4</sup>. Despite controversial commercial results for first deployments of 5G-grade millimeter-wave radio (mmWave, 30–71 GHz) and the recent desire to unlock extensive spectrum in “mid bands” (7–24 GHz) for data exchange, it is almost inevitable that next-generation networks (either within the sixth-generation, 6G, or beyond-6G timeline) will eventually also harness higher frequencies laying in the sub-terahertz (sub-THz) band between 100 and 300 GHz<sup>5,6</sup>. High-frequency and ultra-broadband sub-THz wireless systems are particularly identified as a candidate enabler for extremely high-rate, low-latency, and high-reliability 6G and beyond-6G services, as well as high-resolution wireless network sensing<sup>7–11</sup>.

The principal difference between state-of-the-art 5G-grade mmWave systems and beyond-5G sub-THz wireless communications is the fact that the latter will often have to operate in the near field<sup>12</sup>. While the entire research and development area on near-field communications is not fundamentally new<sup>13</sup>, applying state-of-the-art knowledge to ultra-broadband, extremely directional, and high-rate sub-THz systems faces severe challenges. Specifically, the relatively large physical size of sub-THz antennas together with the short wavelength make the near-field zone around the transmitter antenna non-negligible. The actual length will vary substantially depending on the use case and setup, but following a canonical Fraunhofer distance equation (the boundary between the near-field and far-field regions)<sup>14</sup> it becomes evident that the sub-THz near-field zone may easily expand over several tens of meters ultimately reaching a few hundreds of meters in extreme configurations<sup>3,15</sup>. Hence, several prospective use cases for sub-THz wireless communications, including high-rate wireless local area networks (WLANS) and small cells, will have to often operate in the near field<sup>16</sup>. It has been recently mathematically proven that any ultra-broadband mobile sub-THz wireless network will always have at least a few users in the near field<sup>17</sup>.

<sup>1</sup>Department of Electrical and Computer Engineering and Institute for the Wireless Internet of Things, Northeastern University, Boston, MA 02115, USA. <sup>2</sup>Division of Communications Systems, School of Electrical Engineering and Computer Science, KTH Royal Institute of Technology, 114 28 Stockholm, Sweden. <sup>✉</sup>email: bodet.d@northeastern.edu

رباتات بی‌سیم در بازه‌ی فرکانسی بسیار بالا که بالاتر از محدوده‌ی متداول نسل پنجم قرار می‌گیرند، به عنوان راهکاری برای دستیابی به سرعت‌های بسیار زیاد، تأخیر بسیار کم و قابلیت‌های پیشرفته‌ی حسگری مورد توجه قرار گرفته‌اند. این سامانه‌ها غالباً ناچارند در ناحیه‌ای نزدیک به فرستنده کار کنند که رفتار انتشار امواج در آن با مدل‌های ساده و رایج فاصله‌ی دور سازگار نیست و الگوهای پیچیده‌تری دارد.

در این شرایط، روش‌های مرسوم هدایت و تمرکز امواج که در نسل‌های قبلی شبکه‌های بی‌سیم عملکرد مناسبی داشته‌اند، کارایی کمتری از خود نشان می‌دهند. به همین دلیل، بررسی دقیق رفتار کانال ارتباطی در این ناحیه اهمیت زیادی پیدا می‌کند. در پژوهش مورد بحث، این کانال به صورت عملی اندازه‌گیری و تحلیل شده و علاوه نوسان توان کمتری داشته و بر روش‌های معمول، از نوعی پرتو ویژه استفاده شده است که در فاصله‌های نزدیک تمرکز انرژی بهتری ایجاد می‌کند.

نتایج این بررسی نشان می‌دهد که ویژگی‌های کانال ارتباطی در این بازه‌ی فرکانسی به شدت به فاصله و جهت وابسته است. این وابستگی‌های جدید می‌توانند مبنای مناسبی برای طراحی مدل‌های دقیق‌تر در شبکه‌های بی‌سیم نسل‌های آینده باشند.

هم‌زمان با نزدیک شدن به پایان استانداردسازی نسل پنجم، توجه پژوهشگران به نسل‌های بعدی شبکه‌های بی‌سیم معطوف شده است. با وجود چالش‌های فنی و تجاری در فرکانس‌های بالاتر، استفاده از این بازه‌های فرکانسی در آینده اجتناب‌ناپذیر به نظر می‌رسد، زیرا توان پاسخ‌گویی به نیازهای بسیار سنگین ارتباطی و حسگری آینده را دارند. همچنین نشان داده شده است که در چنین شبکه‌هایی همواره تعدادی از کاربران در ناحیه‌ی نزدیک به فرستنده قرار می‌گیرند و بنابراین طراحی سامانه‌ها باید از ابتدا با در نظر گرفتن این شرایط انجام شود.

In this sub-THz near-field zone, the phase difference between the components of the electromagnetic (EM) wave arriving at different parts of the receiver antenna is non-negligible anymore, hence contradicting the plane wave assumption. The plane wave assumption in turn is a basis for widely-utilized far-field propagation models, including the common free space path loss (FSPL) model following a closed-form equation by Friis from 1946<sup>19</sup>. In contrast, near-field sub-THz channels feature complex and non-monotonic behavior, where the average received power may even increase with the spreading distance in certain cases that strictly contradicts the far-field Friis law<sup>3,19,20</sup>. *Accurately and comprehensively characterizing the sub-THz propagation in the near field is one of the essential steps toward harnessing these attractive bands in 6G and beyond-6G wireless systems*<sup>1,15</sup>.

Another key novel concept for sub-THz near-field propagation is related to the *wavefront engineering*—the process of adjusting the amplitude and phase profile of the EM wave to propagate in a certain way. In the near field, non-planar wave propagation provides additional flexibility in designing beams<sup>20</sup>. Conventional state-of-the-art beamforming solutions result in Gaussian beams, but in the near-field, the set of possible design options also includes beamfocusing (sometimes referred to as “near-field beamforming”)<sup>16,21</sup>, curved-shape Airy beams<sup>22</sup>, and Bessel beams<sup>23,24</sup>, among other options. Recently, THz and sub-THz Bessel beams have attracted particular interest due to their non-diffracting nature (focusing a substantial part of the energy alongside a fixed-length straight vector segment in the near field<sup>20,25</sup>), as well as their self-healing properties which allow them to overcome partial signal blockage<sup>16,25</sup>. A variety of recent works have characterized the propagation of THz or sub-THz Bessel beams generated using polytetrafluoroethylene axicons<sup>26</sup>, 3-D printed diffractive axicons<sup>27</sup>, and even a plasmonic beamforming technology<sup>28</sup>. Pulsed THz Bessel beams have also been explored for their potential in communications and sensing<sup>29,30</sup>. Particularly, the self-healing property of Bessel beams is of high importance for high-rate low-latency high-reliability services in 6G and beyond, including eXtended Reality (XR) and the Metaverse, as frequent blockage of sub-THz links by stationary and mobile obstacles may compromise stringent latency and reliability quality of service (QoS) constraints<sup>11–13</sup>.

Over the recent decades, THz and sub-THz communication channels have been studied in various use cases, from next-generation indoor wireless networks<sup>3,4,9</sup> down to wireless-networks-on-chip (WNOC) on one end<sup>38</sup> and up to sub-THz satellite links on the other<sup>37</sup>. These primarily include extensive modeling efforts with dozens of channel and propagation models reported to date<sup>3,38</sup>. However, the overwhelming majority of these sub-THz and THz channel models are built with the far-field assumption in mind, so are not fully applicable to characterize complex propagation in the sub-THz near field. To date, only a very limited fraction of sub-THz channel models account for near-field propagation effects, primarily either related to the near-field sensing<sup>39,40</sup>, focused on the near-field propagation in the human body<sup>41–43</sup>, or, recently, modeling sub-THz multiple-antenna systems in the near field as a superposition of several far-field systems<sup>44–47</sup>.

As the observed near-field sub-THz channel features complex non-monotonic propagation, it is desired to have reliable reference measurements in the sub-THz near-field to verify existing and future channel models for 6G and beyond-6G sub-THz high-rate communication systems. The majority of available measurement-based studies on sub-THz communication channels are however also far-field, by design<sup>35,48–51</sup>, as further reflected in the latest surveys and tutorials on the topic<sup>8,18</sup>. Complementing the far-field-centric measurement studies above, some recent works made attempts to empirically characterize the near-field sub-THz communication channel. Among others, J. Fu et al.<sup>52</sup> illustrated the effect of separation distance for several frequencies and compared the results with their developed model. Further, Y. Wang et al.<sup>53</sup> compared the path gain and the phase change across the far field and the near field using a virtual antenna array. There are a few other empirical studies available, however, the overwhelming majority of measurement-based works for near-field communications are focused on lower frequencies in the microwave and mmWave bands<sup>34–36</sup>. *Hence, to the best of the authors' knowledge, the set of available reference measurements for near-field sub-THz communications covering all the key dimensions together (distance, angle, frequency, and beam type/wavefront) is limited to date.*

Motivated by the continuously growing interest in near-field sub-THz communications on one side and the limited availability of reliable comprehensive channel measurements for near-field sub-THz links on the other, we attempt to close this gap in the current article. *In this work, experimental results and their analysis are provided for near-field propagation in sub-THz 6G and beyond wireless communications. Specifically, four key dependencies are explored together related to the effect of distance, the effect of offset angle, the effect of frequency, and the effect of the utilized sub-THz beam.* For the latter, a direct comparison between a conventional Gaussian beam (produced e.g., as a result of 5G-grade beamforming)<sup>14,57–59</sup> and a non-diffracting sub-THz Bessel beam (further described in Methods)<sup>13,24</sup> is provided. Our study particularly indicates a notable difference in the system characteristics with the Gaussian beam and with the Bessel beam thus confirming the importance of accounting for the transmitted signal's beam type when operating in the sub-THz near field. On top of specific observations and conclusions made in the article, the work also provides illustrative measurement data that can be used as a reference when developing near-field-specific 6G and beyond-6G channel models for sub-THz wireless communication systems.

## Results

In this study, four major near-field-specific propagation effects are explored for sub-THz communications. The first is the effect of the separation distance between the transmitting and receiving antennas. The second is the effect of the offset angle of the transmitting antenna from 0 degrees (corresponding to perfect alignment between the transmitting and receiving antennas). Here, the obtained results illustrate the non-trivial differences between the antenna radiation diagram at various distances within the near field and the well-established radiation diagram of the same antenna in the far field. Third, we also illustrate how the change in the sub-THz frequency impacts the propagation characteristics when both the separation distance and the offset angle stay the same. Finally, the fourth key effect explored is the effect of the type of beam utilized for communications. Specifically, the last subsection presents a comparison between the results with a Gaussian beam (often the resulting type

در ناحیه‌ی نزدیک ارتباطات بی‌سیم با فرکانس بسیار بالا، اختلاف فاز اجزای موج الکترومغناطیسی که به بخش‌های مختلف آنتن گیرنده می‌رسند قابل چشم‌پوشی نیست. به همین دلیل، فرض ساده‌ی موج تخت که پایه‌ی بسیاری از مدل‌های رایج انتشار در فاصله‌ی دور است، دیگر اعتبار ندارد. در این شرایط، رفتار کanal ارتباطی پیچیده و غیر یکنواخت می‌شود، به‌گونه‌ای که در برخی فاصله‌ها حتی ممکن است توان دریافتی با

افزایش فاصله بیشتر شود؛ پدیده‌ای که با قوانین شناخته‌شده‌ی فاصله‌ی دور در تضاد است. بنابراین، توصیف دقیق انتشار امواج در این ناحیه یکی از گام‌های اساسی برای بهره‌برداری از این باندهای فرکانسی در شبکه‌های نسل آینده به شمار می‌رود.

یکی از مفاهیم نوین در این حوزه، مهندسی جبهه‌ی موج است؛ یعنی کنترل دامنه و فاز موج برای هدایت آن به شکل دلخواه. در ناحیه‌ی نزدیک، غیرتحت بودن جبهه‌ی موج امکان طراحی پرتوهای متنوع‌تری را فراهم می‌کند. علاوه بر پرتوهای متداول، می‌توان از پرتوهای متمرکز، پرتوهای خمیده و پرتوهایی استفاده کرد که در برابر واگرایی مقاوم‌اند. این نوع پرتوها به دلیل تمرکز پایدار انرژی و توانایی بازیابی خودکار پس از انسداد جزئی، برای ارتباطات پرسرعت، کم‌تأخر و قابل‌اعتماد اهمیت ویژه‌ای دارند، به‌ویژه در کاربردهایی که انسداد مسیر سیگنال به‌طور مکرر رخ می‌دهد.

با وجود پژوهش‌های فراوان درباره‌ی کانال‌های ارتباطی در این بازه‌ی فرکانسی، بیشتر مدل‌ها و اندازه‌گیری‌های موجود بر اساس فرض فاصله‌ی دور طراحی شده‌اند و توانایی توصیف دقیق ناحیه‌ی نزدیک را ندارند. تنها تعداد محدودی از مطالعات به اثرات ناحیه‌ی نزدیک پرداخته‌اند و اغلب آن‌ها یا به فرکانس‌های پایین‌تر محدود بوده‌اند یا همه‌ی عوامل مهم مانند فاصله، زاویه، فرکانس و نوع پرتو را به‌طور همزمان بررسی نکرده‌اند.

در این پژوهش، برای جبران این کمبود، اندازه‌گیری‌های جامع و عملی از کانال ارتباطی در ناحیه‌ی نزدیک انجام شده است. نتایج به‌طور همزمان اثر فاصله، انحراف زاویه‌ای، تغییر فرکانس و نوع پرتو را بررسی می‌کنند. مقایسه‌ی انجام‌شده نشان می‌دهد که نوع پرتو تأثیر چشمگیری بر رفتار سامانه دارد و استفاده از پرتوهای ویژه‌ی ناحیه‌ی نزدیک می‌تواند عملکرد کاملاً متفاوتی نسبت به پرتوهای متداول ایجاد کند. داده‌های به‌دست‌آمده در این کار می‌توانند به عنوان مرجعی معتبر برای توسعه‌ی مدل‌های دقیق‌تر کانال ارتباطی در شبکه‌های بی‌سیم نسل‌های آینده مورد استفاده قرار گیرند.



نتایج بررسی‌ها نشان می‌دهد که در ناحیه‌ی نزدیک ارتباطات بی‌سیم با فرکانس بسیار بالا، توان دریافتی به صورت ساده و قابل پیش‌بینی با فاصله تغییر نمی‌کند. اندازه‌گیری‌های انجام شده نشان می‌دهند که مقادیر واقعی توان دریافتی می‌توانند اختلاف قابل توجهی با مقادیری داشته باشند که مدل‌های رایج فاصله‌ی دور پیش‌بینی می‌کنند. این اختلاف در فاصله‌های کوتاه بسیار زیاد است و با افزایش فاصله کاهش می‌یابد، اما حتی

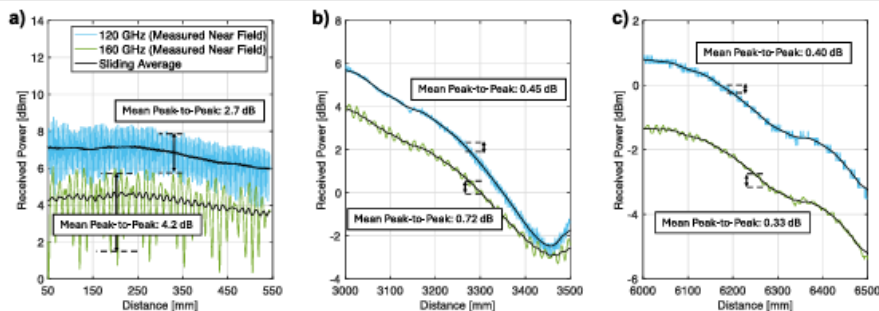
در فاصله‌های چند متری همچنان چشمگیر باقی می‌ماند. تنها زمانی که فاصله به مرز ناحیه‌ی دور نزدیک می‌شود، رفتار توان دریافتی به روندهای شناخته‌شده نزدیک می‌شود.

همچنین مشاهده می‌شود که رفتار تغییر توان نسبت به فاصله در این ناحیه یکنواخت نیست؛ یعنی توان دریافتی به صورت هموار کاهش نمی‌یابد و نوسان‌هایی در طول مسیر دیده می‌شود که با تغییر ساده‌ی ضرایب یا توان مدل‌های متداول قابل جبران نیست. این موضوع نشان می‌دهد که مدل‌های مرسوم برای توصیف ناحیه‌ی نزدیک کفایت ندارند و نیاز به رویکردهای بنیادی‌تر وجود دارد.

از سوی دیگر، بررسی اثر فرکانس نشان می‌دهد که در یک فاصله‌ی ثابت، استفاده از فرکانس بالاتر معمولاً با تضعیف بیشتر سیگнал همراه است. با این حال، برخلاف مدل‌های فاصله‌ی دور که اختلاف تضعیف میان فرکانس‌ها را ثابت در نظر می‌گیرند، در ناحیه‌ی نزدیک این اختلاف به فاصله وابسته است و مقدار آن تغییر می‌کند. به‌طور میانگین، این اختلاف در ناحیه‌ی نزدیک بیشتر از مقدار پیش‌بینی‌شده توسط مدل‌های ساده است.

دلیل این رفتار آن است که با افزایش فرکانس، ناحیه‌ی نزدیک گستردگر می‌شود و رسیدن به شرایط فاصله‌ی دور به فاصله‌های بیشتری نیاز دارد. به همین علت، در فرکانس‌های بالاتر، توان دریافتی با فاصله کنده‌تر به روند شناخته‌شده نزدیک می‌شود و تضعیف‌های اضافی هرچند کوچک اما قابل مشاهده رخ می‌دهد.

در مجموع، این نتایج نشان می‌دهد که هم فاصله و هم فرکانس، تأثیری پیچیده و به‌هم‌وابسته بر توان دریافتی در ناحیه‌ی نزدیک دارند و این اثرات باید به صورت دقیق در طراحی و مدل‌سازی سامانه‌های بی‌سیم نسل‌های آینده در نظر گرفته شوند.

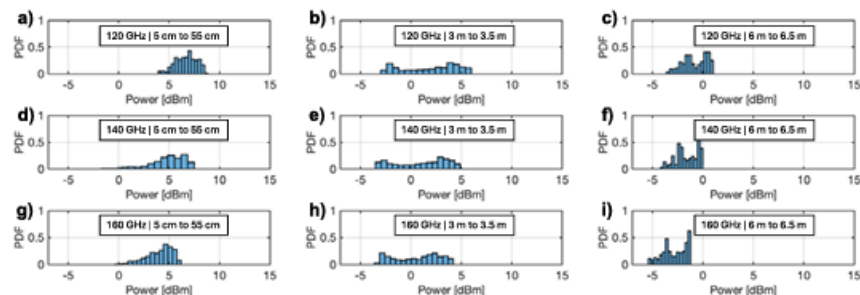


**Fig. 2.** Non-monotonic effects of separation distance in the near field for the sub-THz Gaussian beam. Measured received power as a function of separation distance for 120 GHz and 160 GHz complemented with the sliding averages and the average peak-to-peak value labeled for each panel and frequency. Three panels representing illustrative distance ranges in the sub-THz near field—(a) from 5 to 55 cm, (b) from 300 to 350 cm, and (c) from 600 to 650 cm.

power over the measurement results of that panel. In Fig. 2 we specifically observe two types of oscillations in the measurement results over distance: (i) rapid oscillations over distances of a few millimeters, and (ii) slower oscillations over several centimeters (visible from the sliding average curves). Both types are still present in Fig. 2b but are weaker in amplitude and almost disappear at distances greater than 6 m, as visible from Fig. 2c. In Fig. 2a, the rapid oscillations' peak-to-peak values are 2.7 dB and 4.2 dB for 120 GHz and 160 GHz respectively. By the 6 m mark, we see they have dropped to 0.40 dB and 0.33 dB in Fig. 2c. The slower oscillations are most clearly seen in the sliding average for 120 GHz in Fig. 2a, but in Fig. 2b, both 120 GHz and 160 GHz observe a considerable trough at 3460 mm. Even in Fig. 2c, in which both signals follow a downward trend, the trend is not consistent.

To further illustrate these findings, we plot the probability density functions (PDFs) for each measurement in Fig. 3 (as in real deployment the exact separation distance between the transmitter and the receiver may be not known with 1 mm precision). Each column corresponds to a different range of transmission distances (0.05–0.55 m, 3–3.5 m, and 6–6.5 m), while each row corresponds to a different frequency measured. For all frequencies, we see the center value of the PDF migrating to the left (i.e., to smaller values) as the transmission distance increases. This trend corresponds to the fact that, in general, as the transmission distance increases the received power decreases.

We also notice that for the 0.05 m to 0.55 m range, there is typically one peak value in the PDF, while for both the 3 m to 3.5 m range and the 6 m to 6.5 m measurements, there are multiple (usually, two) peak values within each PDF. Hence, the PDFs for shorter distances reflect unimodal distribution, while other measurements tend to follow the multimodal distribution (specifically, bimodal in most cases). This difference in distribution is partially due to the fact that at longer distances, fast oscillations presented in Fig. 2a decrease in amplitude,



**Fig. 3.** Probability Density Function (PDF) of measured received power for various frequencies and separation distance ranges—(a–c) Results at each range of distances for 120 GHz, (d–f) Results at each range of distances for 140 GHz, (e–h) Results at each range of distances for 160 GHz.

نتایج اندازه‌گیری‌ها نشان می‌دهد که توان دریافتی در ناحیه‌ی نزدیک با افزایش فاصله رفتاری نوسانی دارد. این نوسان‌ها به دو دسته تقسیم می‌شوند: نوسان‌های سریع که در بازه‌های بسیار کوتاه چند میلی‌متری رخ می‌دهند، و نوسان‌های کندر که در مقیاس چند سانتی‌متر دیده می‌شوند. هر دو نوع نوسان در فاصله‌های کوتاه به‌وضوح

قابل مشاهده‌اند، اما با افزایش فاصله، دامنه‌ی آن‌ها کاهش می‌یابد و در فاصله‌های بیش از چند متر تقریباً از بین می‌روند.

در فاصله‌های نزدیک، نوسان‌های سریع دامنه‌ی نسبتاً بزرگی دارند، اما با افزایش فاصله این دامنه به مقدار بسیار کوچکی کاهش پیدا می‌کند. نوسان‌های کندر نیز در برخی فاصله‌ها باعث افت محسوس توان می‌شوند و حتی در فاصله‌های دورتر که روند کلی کاهشی است، رفتار توان کاملاً یکنواخت و منظم نیست.

برای درک بهتر این رفتار، توزیع آماری توان دریافتی در بازه‌های مختلف فاصله بررسی شده است. نتایج نشان می‌دهد که با افزایش فاصله، مقدار غالب توان دریافتی به تدریج به سمت مقادیر کمتر جابه‌جا می‌شود که بیانگر کاهش کلی توان با فاصله است. با این حال، شکل این توزیع‌ها در فاصله‌های مختلف تفاوت دارد.

در فاصله‌های بسیار کوتاه، توزیع توان معمولاً تنها یک قله دارد و رفتار آن ساده‌تر است. اما در فاصله‌های متوسط و بلندتر، توزیع توان اغلب دارای چند قله می‌شود که نشان‌دهنده‌ی وجود چند مقدار غالب متفاوت برای توان دریافتی است. این تغییر در شکل توزیع تا حدی ناشی از کاهش دامنه‌ی نوسان‌های سریع و پیچیده‌تر شدن رفتار انتشار موج در فاصله‌های بیشتر است.

در مجموع، این نتایج نشان می‌دهد که توان دریافتی در ناحیه‌ی نزدیک نه تنها با فاصله کاهش می‌یابد، بلکه دچار نوسان‌ها و تغییرات آماری پیچیده‌ای می‌شود که باید در تحلیل و طراحی سامانه‌های ارتباطی آینده به‌دقت در نظر گرفته شوند.

so the slower trends start dominating. An illustrative example here is in Fig. 2c, where the 100 GHz curve has two quasi-stable segments: the first one around 4 dBm between 6000 and 6100 mm and the second one around 2 dBm between 6300 and 6400 mm. These two peaks of values are well reflected in Fig. 3c and similar trends are observed for other frequencies and distances.

We finally cross-verify the findings from Figs. 1, 2 and 3 with 4, that reports the standard deviation (STD) of the results presented in Fig. 3. The standard deviation is indicated in dBm for each frequency over the three measured cases. As observed from Fig. 4, the standard deviation trends constantly downward as the transmission distance increases, and almost constantly downward with frequency as well which corresponds to the major findings reported above.

#### Effect of offset angle and impact of distance on the antenna radiation pattern in the sub-THz near field

As the key effects of the separation distance and the frequency are revealed in Figs. 1, 2, 3 and 4, we proceed with our analysis by studying the implications of the alignment/misalignment between the transmitting and receiving antennas in Fig. 5.

Specifically, Fig. 5a illustrates the radiation pattern of the transmitting antenna observed in the sub-THz near field at different distances. To obtain the values reported in Fig. 5, we subtracted the known spreading loss in the power spectral density over a given fixed distance from the difference between the known transmit power and the measured received power. The resulting value in dB was then divided by two, as the setup for Gaussian beam measurements utilizes two identical horn-lens antennas, as further discussed in Methods below. We complemented the measured antenna radiation pattern in Fig. 5a,b with the far-field radiation diagram of the same antenna taken from its specification<sup>40</sup>.

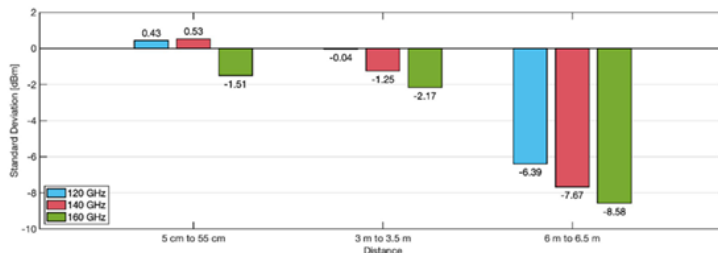


Fig. 4. Standard deviation (STD) of the measured received power results. STD calculated over the entirety of each of the three measurement sets presented in Fig. 1a–c.

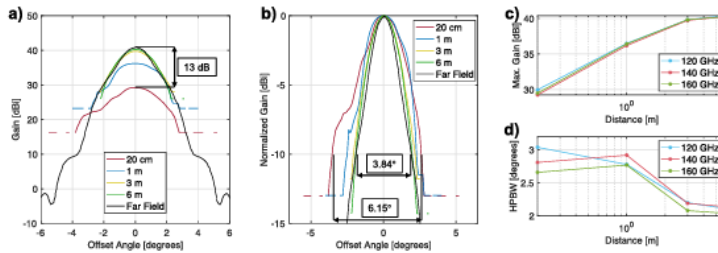


Fig. 5. Effect of the offset angle. Measured angular sweep results—(a) Gain at each measurement distance and the expected far-field gain from the antenna specifications<sup>40</sup> at 140 GHz, (b) Normalized gain at each measurement distance and expected normalized far-field gain at 140 GHz, (c) Maximum (max.) gain observed at each distance for all the measured frequencies, (d) Half Power Beam Width (HPBW) of the antenna radiation pattern observed at each distance for all measured frequencies.

با افزایش فاصله، نوسان‌های کندتر به تدریج نقش غالب‌تری در رفتار توان دریافتی پیدا می‌کنند. به عنوان نمونه، در یکی از فاصله‌های دورتر، توان دریافتی در دو بازه‌ی مجزا برای مدتی تقریباً ثابت باقی می‌ماند، اما این دو بازه در سطح متفاوتی از توان قرار دارند. وجود این دو سطح پایدار به خوبی در تحلیل‌های آماری نیز منعکس شده و نمونه‌های مشابهی در فرکانس‌ها و فاصله‌های دیگر هم مشاهده می‌شود.

برای اطمینان از صحت نتایج، پراکندگی آماری داده‌ها در فاصله‌ها و فرکانس‌های مختلف بررسی شده است. نتایج نشان می‌دهد که میزان پراکندگی با افزایش فاصله به طور پیوسته کاهش می‌یابد

و با افزایش فرکانس نیز عموماً روندی کاهشی دارد. این رفتار با مشاهدات پیشین دربارهی کاهش نوسان‌ها در فاصله‌های بیشتر سازگار است و یافته‌های قبلی را تأیید می‌کند.

پس از بررسی اثر فاصله و فرکانس، اثر هم‌راستایی یا ناهم‌راستایی میان آنتن فرستنده و گیرنده مورد مطالعه قرار گرفته است. نتایج نشان می‌دهد که در ناحیه‌ی نزدیک، الگوی تابش آنتن با تغییر فاصله دچار تغییرات قابل توجهی می‌شود و رفتار آن با الگوی شناخته‌شدهی فاصله‌ی دور تفاوت دارد.

برای استخراج این الگوها، افت توان ناشی از گسترش موج در فاصله‌ی ثابت از داده‌های اندازه‌گیری‌شده حذف شده و اختلاف توان فرستاده‌شده و دریافت‌شده به صورت متناسب میان آنتن‌ها تقسیم شده است. الگوهای به دست‌آمده با الگوی مرجع آنتن در فاصله‌ی دور مقایسه شده‌اند تا تفاوت‌های اساسی رفتار آنتن در ناحیه‌ی نزدیک به طور دقیق مشخص شود.

در مجموع، این نتایج نشان می‌دهد که هم فاصله و هم میزان هم‌راستایی آنتن‌ها تأثیر مستقیمی بر الگوی تابش و توان دریافتی در ناحیه‌ی نزدیک دارند و این عوامل باید به طور جدی در طراحی و تحلیل سامانه‌های ارتباطی با فرکانس بسیار بالا در نظر گرفته شوند.

Exploring Fig. 5a, we observe that the maximum gain increases with the separation distance. Specifically, the difference between the observed maximum gain for the 20 cm distance and the reported maximum gain for this antenna in the far field is around 13 dB. This deviation from the far-field maximum gain decreases with distance (6 dB, 3 dB, and 2 dB for the results measured at 1 m, 3 m, and 6 m respectively), rapidly for shorter distances and more slowly for longer distances. For example, the 80 cm difference between the red and blue curves corresponds to more than a 5 dB increase in gain while the 3 m difference between the 3 and 6 m measurements results in an increase of less than 1 dB. Thus as the far field approaches, the impact of near-field propagation is less and less apparent but still non-negligible even at distances over 6 m.

It is also important to recall that these results only show the radiation pattern of the antenna at the transmitter. In practice, however, the difference between the real power values in the sub-THz near field and the expected values when following the far-field antenna radiation pattern can be up to two times larger if the sub-THz receiver uses the same directional antenna.

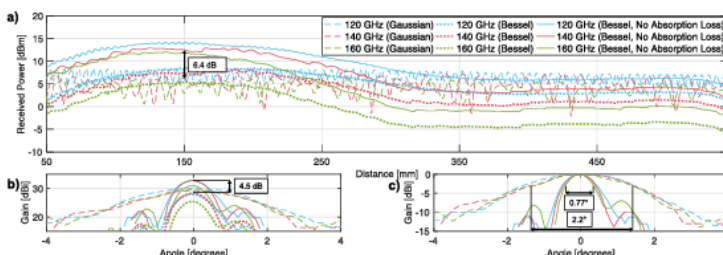
In addition to the increase in maximum gain, as we approach the sub-THz far field, the width of the beam shrinks. This trend is visible in Fig. 5a presenting the real gain but is even easier to see in Fig. 5b where we have normalized the values. For closer distances, the beam is significantly wider than it is for farther distances. We also note a minor asymmetry in the measured results for shorter distances, explained by either an imperfect initial alignment during the measurements (extremely hard to achieve at very short distances) or imperfect manufacturing of the particular antenna sample. Despite these artifacts, the key trends related to frequency, angle, and separation distance still hold across all the reported measurements, as further illustrated in Fig. 5c,d discussed below.

Figure 5c presents the maximum gain observed at each distance for all the measured frequencies, and we observe the steady upward trend for all cases. We also see that the maximum gain is highest for 120 GHz (i.e., the lowest frequency). As mentioned previously, higher frequencies will observe a larger near-field region for the same antenna aperture due to their smaller wavelengths. Thus, the gain for lower frequencies increases faster than for higher frequencies. Finally, in Fig. 5d we present the half-power beamwidth (HPBW) of the measured antenna radiation pattern as a function of distance. Here, we observe that the beamwidth decreases with distance for all frequencies, which cross-verifies our observation regarding the opposite trend in the maximum gain. As the same antenna does not start radiating less or more energy when the receiver is moved to a different distance, the lower maximum gain in the sub-THz near field leads to a wider beam (more energy radiated in other directions), as reported in Fig. 5.

#### Effect of beam type: comparing Gaussian beam and Bessel beam results in the sub-THz near field

We conclude the presentation of key results with Fig. 6, which compares the distance-related and angle-related dependencies of propagation for conventional Gaussian beams (similar to what a far-field beamforming system would produce) with near-field-specific non-diffracting sub-THz Bessel beams. For illustration purposes, the Gaussian beam measurement results are plotted with dashed lines. The Bessel beam measurement results compensated for the different antennas used at the receiver are plotted with dotted lines, while the Bessel beam results also compensated for the absorption loss of the axicon are shown with solid lines. The non-diffracting region of the Bessel beam (between 50 and 250 mm) is clearly visible in Fig. 6a where we plot the received power in dBm as a function of the transmission distance.

We observe from Fig. 6a that the Bessel beam adds up to a 6.4 dB gain compared to the Gaussian. We still see slight oscillations in the received power of the Bessel beam along its non-diffracting region, but these fluctuations are significantly smaller in amplitude than those experienced by the Gaussian beam. Hence, in the sub-THz near field, the use of the Bessel beam instead of the conventional Gaussian beam allows not only for



**Fig. 6.** Effect of the sub-THz beam. Comparing the sub-THz Gaussian beam with the sub-THz Bessel beam in the near field—(a) Received power as a function of distance for the Gaussian and Bessel beams showing results with and without compensating for the absorption of axicon's material, (b) Antenna gain for the Gaussian and the Bessel beams, (c) Normalized gain as a function of offset angle for the Gaussian and the Bessel beams.

بررسی نتایج نشان می‌دهد که با افزایش فاصله میان فرستنده و گیرنده، بیشینه‌ی بهره‌ی آنتن افزایش پیدا می‌کند و هرچه به ناحیه‌ی دور نزدیک‌تر می‌شویم، اختلاف رفتار آنتن با حالت ایده‌آل کمتر می‌شود. این تغییرات در فاصله‌های کوتاه سریع‌تر و در فاصله‌های بلندتر آهسته‌تر رخ می‌دهند. با وجود این، حتی در فاصله‌های چند متری نیز اثرات ناحیه‌ی نزدیک به‌طور کامل از بین نمی‌روند و همچنان قابل توجه باقی می‌مانند.

باید توجه داشت که این نتایج تنها به رفتار آتنن فرستنده مربوط می‌شوند. در شرایط واقعی، اگر گیرنده نیز از آتننی جهت‌دار مشابه استفاده کند، اختلاف میان توان واقعی دریافتی و مقدار پیش‌بینی‌شده می‌تواند به مراتب بزرگ‌تر شود. این موضوع اهمیت در نظر گرفتن هم‌زمان آتنن فرستنده و گیرنده را در تحلیل ناحیه‌ی نزدیک نشان می‌دهد.

همچنین مشاهده می‌شود که با افزایش فاصله، پهنه‌ای پرتو کاهش می‌یابد. در فاصله‌های نزدیک، پرتو بسیار بازتر است و انرژی در جهت‌های بیشتری پخش می‌شود، در حالی که در فاصله‌های دورتر، تمرکز انرژی بیشتر شده و پرتو باریک‌تر می‌شود. هرچند در فاصله‌های بسیار کوتاه اندکی نامتقارنی در الگوها دیده می‌شود، روندهای اصلی وابسته به فاصله، زاویه و فرکانس در تمام اندازه‌گیری‌ها پابرجا هستند.

مقایسه‌ی رفتار پرتوهای متداول با پرتوهای ویژه‌ی ناحیه‌ی نزدیک نشان می‌دهد که نوع پرتو نقش تعیین‌کننده‌ای در عملکرد سامانه دارد. پرتوهای ویژه می‌توانند در یک بازه‌ی مشخص از فاصله، انرژی را بدون واگرایی قابل توجه حفظ کنند و در مقایسه با پرتوهای معمولی، توان دریافتی بیشتری فراهم آورند. علاوه بر این، نوسان‌های توان در این پرتوها به مراتب کمتر است و پایداری بهتری در ناحیه‌ی نزدیک ایجاد می‌شود.

در مجموع، این نتایج نشان می‌دهد که در ارتباطات بی‌سیم با فرکانس بسیار بالا، هم فاصله، هم زاویه و هم نوع پرتو تأثیر مستقیمی بر بهره، پهنه‌ای پرتو و پایداری توان دارند. استفاده از پرتوهای مناسب ناحیه‌ی نزدیک می‌تواند عملکرد سامانه را به طور قابل توجهی بهبود دهد و باید به عنوان یک عامل کلیدی در طراحی شبکه‌های بی‌سیم نسل‌های آینده در نظر گرفته شود.

| aš

- + ↗ | 7 of 13 | 🔍 | 🔍

www.nature.com/scientificreports/

greater received power but also for more stable received power at various distances. The latter may be important for next-generation mobile sub-THz communications in the near field toward 6G and beyond.

Further, in Fig. 6b we plot the observed gain for the Bessel beam and Gaussian beam at 20 cm for different offset angles. One notable difference is the gain. There is a 4.5 dB difference in maximum gain between the Bessel and Gaussian performance. Beyond this increase, however, we also see what appear to be side lobes at plus and minus 1.3 degrees, which correspond to the first ring of the Bessel beam's amplitude profile<sup>30</sup>. These are more clearly visible in Fig. 6c where we present the normalized gain for both the Gaussian and Bessel beams. The characteristically narrower focus of the Bessel beam is also apparent in this plot: the HPBW of the Bessel is narrower by over 1 degree, which is a notable improvement for a narrow-beam ≈ 40 dBi antenna with the HPBW of only a few degrees in the far field.

We finally note that the non-diffracting region of the sub-THz Bessel beam is not theoretically limited to 30 cm, which may be too short for many practical 6G communication use cases. Similarly, the gain of the Bessel beam is not strictly limited to 6.4 dB. These values are due to the properties of a particular 3D-printed axicon used to generate the Bessel beam in our measurements, as further detailed in Methods. Meanwhile, different configurations of the axicon are possible, as well as different approaches to generate the Bessel beam using conventional phased arrays or intelligent reflective surfaces (IRSs)<sup>30</sup>.

**Discussion**

The above results present important insights into the sub-THz communication channel characteristics in the near field as a function of all key parameters, including the distance between the transmitter and receiver, the offset angle between the antennas, the selected frequency, and the utilized beam type (specifically, illustrated by Gaussian vs. Bessel beams).

*First*, it has been confirmed (as also observed in prior studies) that using the canonical monotonic far-field FSPL expression for near-field sub-THz communications leads to substantial errors. Specifically, as seen in Fig. 1, the measured near-field results are up to 30 dB off from the FSPL prediction. This finding emphasizes the need for some alternative expression for the near field. Although we can resort to Maxwell's equations when the far-field path loss equations are invalid, ideally, there should be an alternative of lower computational complexity but with acceptable accuracy.

Fortunately, the findings in this paper suggest that it may be possible to find such an expression leveraging the reported measurement results. As previously discussed, the distance-dependent results illustrate three primary trends: (i) a gradual decrease in power as the distance increases, (ii) slow oscillations of the sliding average, and (iii) fast fluctuations in the measured values especially for shorter ranges. Follow-up studies may explore if these three phenomena can be characterized together in a simple expression, similar to existing far-field channel models that account for fast and slow fading in addition to the FSPL.

*Second*, as observed in Fig. 5, the radiation pattern of the sub-THz antenna in the near field is notably different from the one it features in the far field (both in terms of maximum gain and beam width). Moreover, the far-field specific antenna radiation pattern typically reported in the antenna specifications becomes less and less valid when decreasing the separation distance between the sub-THz transmitter and receiver.

Practically, aside from impacting the received power at the receiver, the increase in HPBW as the transmission distance decreases could affect the physical layer security (enabling eavesdroppers at wider angles), interference (sending greater power to other nodes around), and beam training (as the beams may be wider than anticipated at certain distances). Thus, these aspects must be accounted for when designing sub-THz communication systems and networks. Specifically, both the analytical models and the engineering solutions that rely on the antennas directivity for sub-THz systems should become aware of whether or not these systems are in the near field and how the radiation pattern is impacted accordingly.

*Third*, beyond characterizing the propagation of traditional Gaussian beams, our results also indicate the promise of non-diffracting beams (specifically, Bessel beams) for future sub-THz communications, given higher gains with these beams in the near field and their notably more focused radiation patterns. Although we used an axicon lens to generate the Bessel beams for this experiment, just like Gaussian beams, Bessel beams can also be created using antenna arrays. Such sub-THz arrays can dynamically adjust the parameters and phase profile to provide a longer or shorter depth of focus in addition to tighter or wider focal lines. The exploration and eventual utilization of razor-sharp sub-THz Bessel beams open the door to novel system design options and new performance boundaries to be achieved with near-field sub-THz communications in 6G and beyond-6G wireless networks. Specifically, Bessel beams present a viable solution to the severe fluctuations we observe in Figs. 1 and 2. Given their non-diffracting nature in the near field and the presented results, they are a promising alternative.

*In conclusion*, the sub-THz near field is an integral part of the beyond-5G beyond wireless connectivity landscape, and an empirical study on near-field sub-THz communication channel behavior has been provided. This study highlights the key dependencies crucial for future system design choices and may serve as a reference for next-generation channel models capturing the near-field propagation of (beyond-)6G sub-THz communications.

**Methods**

The measurement campaign was carried out in two stages. The distance-related results reported in Figs. 1, 2, 3, 4 and 6a have been obtained by the authors in the sub-THz lab at the U. S. Air Force Research Laboratory (AFRL) in Rome, NY, USA, as further detailed in "Linear Sweep" subsection below and illustrated in Fig. 7a. The second part of the measurements revealing the angular-related dependencies reported in Fig. 5, 6b,c has been performed at Northeastern University in Boston, MA, USA, as further described in the "Angular Sweep" subsection below and illustrated in Fig. 7b. For consistency, both measurement setups utilized the same sub-THz

نتایج نشان می‌دهد که استفاده از پرتوهای بسل در ناحیه‌ی نزدیک، علاوه بر افزایش توان دریافتی، پایداری بیشتری برای توان دریافتی در فاصله‌های مختلف ایجاد می‌کند. این ویژگی برای ارتباطات سیار با فرکانس بسیار بالا در شبکه‌های نسل آینده اهمیت ویژه‌ای دارد. همچنین مشاهده شد که پهنای پرتو در پرتوهای بسل باریک‌تر است و توان بیشتری در مسیر مستقیم متتمرکز می‌شود، در حالی که پرتوهای متداول پهن‌تر بوده و انرژی بیشتری در جهات دیگر پخش می‌کنند.

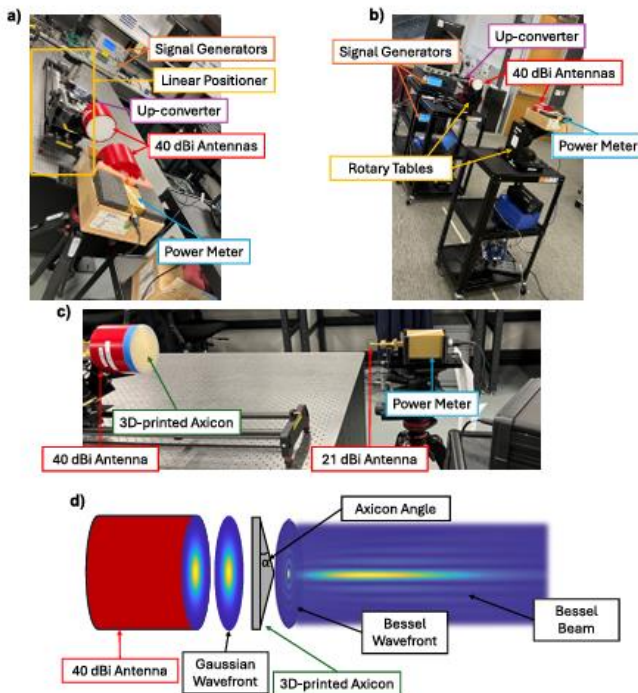
تحلیل‌ها نشان می‌دهد که استفاده از روابط ساده و استاندارد انتشار در فاصله‌های دور برای پیش‌بینی توان در ناحیه‌ی نزدیک منجر به خطاهای بزرگی می‌شود و نیاز به مدل‌های جایگزین با دقت قابل قبول و پیچیدگی

محاسباتی کمتر احساس می‌شود. رفتار توان در ناحیه‌ی نزدیک شامل سه روند اصلی است: کاهش تدریجی توان با افزایش فاصله، نوسان‌های کند و نوسان‌های سریع در فاصله‌های کوتاه.

همچنین، الگوی تابش آنتن در ناحیه‌ی نزدیک با الگوی فاصله‌ی دور تفاوت قابل توجه دارد. با کاهش فاصله، بیشینه‌ی بهره کمتر و پهنانی پرتو بیشتر می‌شود که می‌تواند بر امنیت فیزیکی، تداخل و آموزش پرتوها تأثیر بگذارد. بنابراین طراحی سامانه‌های بی‌سیم با فرکانس بسیار بالا باید این تغییرات را لحاظ کند و بداند که سیستم در ناحیه‌ی نزدیک عمل می‌کند یا خیر.

سرانجام، نتایج نشان می‌دهد که پرتوهای غیرواگرا مانند پرتوهای بسل می‌توانند جایگزین مناسبی برای پرتوهای معمولی باشند. این پرتوها با توجه به تمرکز بالاتر و کاهش نوسان توان، گزینه‌های امیدوارکننده برای طراحی سامانه‌های بی‌سیم نسل ششم و فراتر از آن فراهم می‌کنند و می‌توانند مرزهای عملکردی جدیدی برای ارتباطات زیر تراهنرتر ایجاد کنند.

در کل، ناحیه‌ی نزدیک در ارتباطات زیر تراهنرتر بخش جدایی‌ناپذیر شبکه‌های فراتر از نسل پنجم است و بررسی تجربی رفتار کanal در این ناحیه می‌تواند مرجعی مهم برای طراحی مدل‌های کanal نسل‌های آینده باشد.



**Fig. 7.** Experimental setup—(a) Experimental platform with the programmable linear track at the Air Force Research Laboratory (AFRL); (b) Experimental platform with programmable rotary tables at Northeastern University; (c) Experimental set-up for the Bessel beam linear measurement using the 3-D printed axicon (angle-related measurements used the similar approach to generate the Bessel beam); (d) illustration of the 3D axicon transforming the incoming sub-THz Gaussian beam into the sub-THz Bessel beam.

radio equipment and configurations, as discussed in the following subsection. The key parameters for our study are also summarized in Table 1.

#### Sub-THz signal transmission and reception

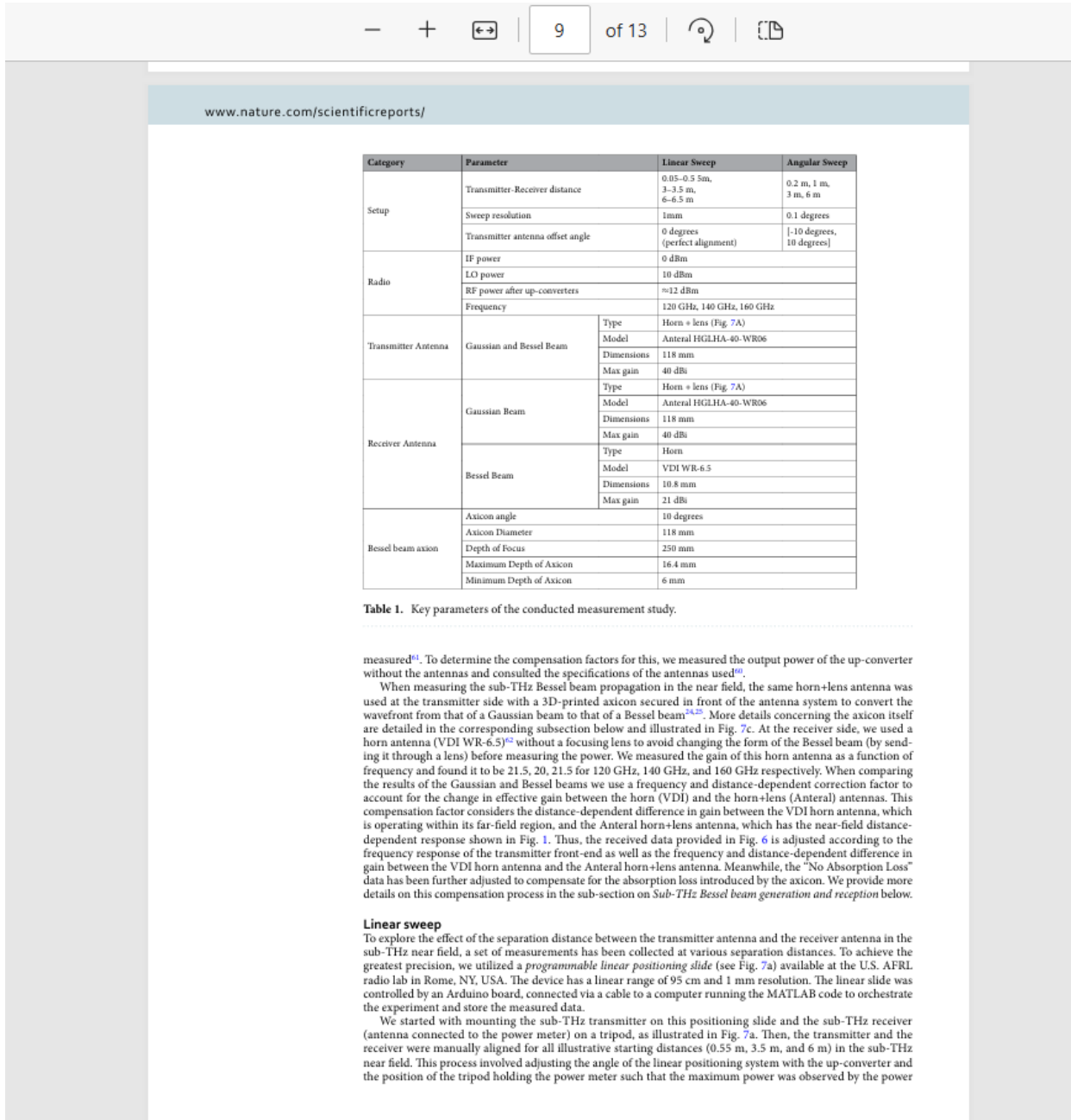
To generate sub-THz signals we used an up-converter chain (Virginia Diodes) with a design frequency of 130 GHz, as illustrated in Fig. 7a,b. The up-converter passes a local oscillator (LO) signal through two frequency doublers before mixing the LO signal with a provided intermediate frequency (IF) signal. The resulting radio frequency (RF) signal is amplified by a power amplifier and radiated from the transmitter antenna. We used two signal generators (Keysight Performance Signal Generators), one to supply an IF signal of 1 GHz, and the other to supply LO signals of 27.75 GHz, 34.75 GHz, and 39.75 GHz to correspond to RF signals of 120 GHz, 140 GHz, and 160 GHz. We used an ethernet connection to control the signal generators from a laptop during experiments. At the receiver side, the signal was captured by another sub-THz antenna connected to a power meter (Virginia Diodes PMS) through a waveguide. For the Gaussian beam case (beamforming), two identical horn antennas equipped with a focusing lens were used (Antera HGLHA-40-WR06); one antenna at the transmitter and one at the receiver. The up-converter and antennas are frequency-selective and impart different gains at each frequency

برای تولید سیگنال‌های فرکانس بسیار بالا، از یک زنجیره‌ی تبدیل فرکانس استفاده شد. در این روش، سیگنال اولیه با عبور از مراحل مختلف فرکانس دو برابر شده و با سیگنال دیگری ترکیب می‌شود تا سیگنال فرکانس بالا ایجاد شود. این سیگنال سپس توسط تقویت‌کننده‌ای افزایش یافته و از آتن فرستنده منتشر می‌شود.

برای تأمین سیگنال‌های مورد نیاز، از دو مولد سیگنال استفاده شد: یکی برای تولید سیگنال پایه و دیگری برای تولید سیگنال محلی که به ترکیب با سیگنال پایه منجر می‌شود. کنترل این مولدها از طریق رایانه انجام شد. در

سمت گیرنده، سیگنال توسط آنتن مشابه با آنتن فرستنده دریافت شده و به دستگاه اندازه‌گیری توان متصل شد.

برای حالت شکل‌دهی پرتو، از دو آنتن یکسان با لنز متمرکز‌کننده استفاده شد: یکی در فرستنده و دیگری در گیرنده. لازم به ذکر است که این تجهیزات نسبت به فرکانس حساس بوده و در هر فرکانس، بهره‌ی متفاوتی ایجاد می‌کنند.



The screenshot shows a table titled "Table 1. Key parameters of the conducted measurement study." The table is organized into four columns: Category, Parameter, Linear Sweep, and Angular Sweep. The rows are grouped by category: Setup, Radio, Transmitter Antenna, and Receiver Antenna. The "Setup" section includes parameters for Transmitter-Receiver distance, Sweep resolution, and Transmitter antenna offset angle. The "Radio" section includes IF power, LO power, RF power after up-converters, and Frequency. The "Transmitter Antenna" section includes parameters for Gaussian and Bessel Beam types, Model, Dimensions, and Max gain. The "Receiver Antenna" section includes parameters for Gaussian Beam and Bessel Beam types, Model, Dimensions, and Max gain. The "Bessel beam axicon" section includes parameters for Axicon angle, Axicon Diameter, Depth of Focus, Maximum Depth of Axicon, and Minimum Depth of Axicon.

Category	Parameter	Linear Sweep	Angular Sweep
Setup	Transmitter-Receiver distance	0.05–0.5 m, 3–3.5 m, 6–6.5 m	0.2 m, 1 m, 3 m, 6 m
	Sweep resolution	1 mm	0.1 degrees
	Transmitter antenna offset angle	0 degrees (perfect alignment)	[−10 degrees, 10 degrees]
Radio	IF power	0 dBm	
	LO power	10 dBm	
	RF power after up-converters	≈12 dBm	
	Frequency	120 GHz, 140 GHz, 160 GHz	
Transmitter Antenna	Gaussian and Bessel Beam	Type	Horn + lens (Fig. 7A)
		Model	Anteral HGLHA-40-WR06
		Dimensions	118 mm
		Max gain	40 dBi
Receiver Antenna	Gaussian Beam	Type	Horn + lens (Fig. 7A)
		Model	Anteral HGLHA-40-WR06
		Dimensions	118 mm
	Bessel Beam	Type	Horn
	Model	VDI WR-6.5	
	Dimensions	10.8 mm	
	Max gain	21 dBi	
Bessel beam axicon	Axicon angle	10 degrees	
	Axicon Diameter	118 mm	
	Depth of Focus	250 mm	
	Maximum Depth of Axicon	16.4 mm	
	Minimum Depth of Axicon	6 mm	

Table 1. Key parameters of the conducted measurement study.

measured<sup>41</sup>. To determine the compensation factors for this, we measured the output power of the up-converter without the antennas and consulted the specifications of the antennas used<sup>40</sup>.

When measuring the sub-THz Bessel beam propagation in the near field, the same horn+lens antenna was used at the transmitter side with a 3D-printed axicon secured in front of the antenna system to convert the wavefront from that of a Gaussian beam to that of a Bessel beam<sup>42,43</sup>. More details concerning the axicon itself are detailed in the corresponding subsection below and illustrated in Fig. 7c. At the receiver side, we used a horn antenna (VDI WR-6.5)<sup>42</sup> without a focusing lens to avoid changing the form of the Bessel beam (by sending it through a lens) before measuring the power. We measured the gain of this horn antenna as a function of frequency and found it to be 21.5, 20, 21.5 for 120 GHz, 140 GHz, and 160 GHz respectively. When comparing the results of the Gaussian and Bessel beams we use a frequency and distance-dependent correction factor to account for the change in effective gain between the horn (VDI) and the horn+lens (Anteral) antennas. This compensation factor considers the distance-dependent difference in gain between the VDI horn antenna, which is operating within its far-field region, and the Anteral horn+lens antenna, which has the near-field distance-dependent response shown in Fig. 1. Thus, the received data provided in Fig. 6 is adjusted according to the frequency response of the transmitter front-end as well as the frequency and distance-dependent difference in gain between the VDI horn antenna and the Anteral horn+lens antenna. Meanwhile, the “No Absorption Loss” data has been further adjusted to compensate for the absorption loss introduced by the axicon. We provide more details on this compensation process in the sub-section on *Sub-THz Bessel beam generation and reception* below.

#### Linear sweep

To explore the effect of the separation distance between the transmitter antenna and the receiver antenna in the sub-THz near field, a set of measurements has been collected at various separation distances. To achieve the greatest precision, we utilized a programmable linear positioning slide (see Fig. 7d) available at the U.S. AFRL radio lab in Rome, NY, USA. The device has a linear range of 95 cm and 1 mm resolution. The linear slide was controlled by an Arduino board, connected via a cable to a computer running the MATLAB code to orchestrate the experiment and store the measured data.

We started with mounting the sub-THz transmitter on this positioning slide and the sub-THz receiver (antenna connected to the power meter) on a tripod, as illustrated in Fig. 7a. Then, the transmitter and the receiver were manually aligned for all illustrative starting distances (0.55 m, 3.5 m, and 6 m) in the sub-THz near field. This process involved adjusting the angle of the linear positioning system with the up-converter and the position of the tripod holding the power meter such that the maximum power was observed by the power

برای اندازه‌گیری انتشار پرتوهای ویژه در ناحیه‌ی نزدیک، از همان آنتن فرستنده با لنز استفاده شد، اما در جلوی آن یک منشور چاپ سه‌بعدی قرار گرفت تا جبهه‌ی موج از شکل پرتو متداول به شکل پرتو ویژه تبدیل شود. در سمت گیرنده از آنتن بدون لنز استفاده شد تا شکل پرتو تغییر نکند و توان دقیق اندازه‌گیری شود. برای مقایسه‌ی نتایج پرتوهای متداول و ویژه، ضریب تصحیحی وابسته به فرکانس و فاصله اعمال شد تا تفاوت بهره‌ی آنتن‌ها لحاظ شود. همچنین، داده‌ها برای جبران تضعیف ناشی از منشور نیز اصلاح شدند.

برای بررسی اثر فاصله میان آنتن فرستنده و گیرنده، مجموعه‌ای از اندازه‌گیری‌ها در فاصله‌های مختلف انجام شد. برای دقت بالا، از یک میز خطی قابل برنامه‌ریزی با دقت میلی‌متری استفاده شد که توسط رایانه و نرم‌افزار کنترل می‌شد و داده‌های اندازه‌گیری شده ذخیره می‌شد.

فرستنده روی این میز و گیرنده روی سه‌پایه قرار گرفتند و هر دو به طور دستی برای فاصله‌های شروع مختلف هم‌راستا شدند تا بیشینه‌ی توان دریافتی ثبت شود. این تنظیم دقیق زاویه و موقعیت تجهیزات، امکان اندازه‌گیری دقیق تأثیر فاصله در ناحیه‌ی نزدیک را فراهم کرد.

— + ⌂ | 10 of 13 | ⌂ | ⌂

[www.nature.com/scientificreports/](http://www.nature.com/scientificreports/)

meter at the receiver side. We then did a few preliminary sweeps prior to each actual measurement to ensure that the system remained aligned as the transmitter moved along the track.

For the actual measurement results reported above, we: (i) sequentially sent sinusoidal signals at each sub-THz RF frequency; (ii) recorded the power observed in each case (each of the frequencies and each distance); and then moved the transmitter antenna forward by 1 mm, thus decreasing the separation distance between the transmitter and the receiver antennas. Following this procedure, three distance ranges were measured with 1 mm spatial resolution: (i) from 0.05 m to 0.55 m; (ii) from 3 m to 3.5 m; and (iii) from 6 m to 6.5 m, as illustrated in Figs. 1, 2, 3, 4 and 6a in the Results section above.

**Angular sweep**

In addition to the distance-dependent behavior, in this work, we also explored how much the radiation pattern of a sub-THz antenna changes between the far field (where the overwhelming majority of antennas are typically characterized today) and the near field (where, as detailed in the Introduction, many prospective sub-THz communication and sensing use cases will operate in practice in 6G and beyond networks in future).

The angular sweep experiments were conducted by placing the transmitter and the receiver (power meter) on two dual-axis programmable computer-controlled rotary tables (IntelliDrives), as illustrated in Fig. 7b. These tables use a worm gear drive design combined with stepper motors to enable precise angular positioning down to 0.0005 degrees. On both the transmitter and the receiver sides, the rotary table orientation (and thus the antenna orientation as well) was controlled by a computer running the experiment. For this purpose, both transmitter and receiver rotary table stepper motors were connected to a laptop via a Recommended Standard 232 (RS-232) to Universal Serial Bus (USB) cable. The MATLAB code to run the experiment then utilized an in-house built C++ library to control the rotation tables remotely over the USB interface.

The actual measurements reported in the Results section above (specifically, Figs. 5, 6b,c) started with accurately setting a given separation distance between the transmitter and the receiver sub-THz antennas. Then, the preliminary alignment of the antennas has been done manually by sending the needed rotation commands to both rotary tables involved. Later, a search algorithm was run on both the transmitter and the receiver sides to find the orientation of the transmitter and receiver antennas leading to their best possible alignment. Here, as the measured setup represents a line-of-sight link (no obstacles on the way and no strong reflections), the maximum received power was used as the criterion for the alignment.

Once the alignment configuration was found, a horizontal angular sweep was performed at the transmitter side to rotate the transmitter antenna with steps of 0.1 degrees, while recording the average received power level at the receiver (power meter) for every angular configuration. Thus the measurement involved, (i) sequentially sending sinusoidal signals at each sub-THz frequency of interest, (ii) storing the observed power at each frequency, and (iii) rotating the transmitter 0.1 degrees to the next position. This process was repeated until the entire angular range from -10 degrees to +10 degrees was covered. Finally, the entire set (separation distance verification, alignment, and four angular sweeps, one per frequency) was repeated for another distance between the transmitter and the receiver. As a result, three sub-THz frequencies (120 GHz, 140 GHz, and 160 GHz) have been characterized for each of the four distances, leading to sixteen measurement sets reported in Fig. 5.

**Sub-THz Bessel beam generation and reception**

As a final stage for both distance sweep and angular sweep measurement parts, a comparison has been performed between the commonly used Gaussian beam (e.g., from a horn antenna or as a result of beamforming with an antenna array) and one of the candidate near-field non-diffracting beams for sub-THz systems—Bessel beam<sup>3</sup>. Unlike the Gaussian beam waveform in Fig. 7d which features a bright spot in the center that radially decreases in intensity when spreading, the Bessel beam waveform (also shown in Fig. 7d) has a tight focus surrounded by concentric rings. Each of these rings carries part of the signal power, and together they enable the non-diffracting and self-healing properties of the Bessel beams<sup>3,23</sup>.

To generate the sub-THz Bessel beam, we utilized a 3D-printed axicon mounted securely to the transmitter antenna (after the lens), as illustrated in Fig. 7c. This axicon is a rotationally symmetric prism acting as a secondary lens for the transmitted signal. The primary design parameters for an axicon are the refractive index of its material, the size of the lens and the incident beam, and the axicon angle, depicted in Fig. 7d. The radius of the incident beam and the axicon angle together dictate the Bessel beam's depth of focus, which is around 30 cm for this experiment. The axicon is created from Polylactic acid, also called PLA, with a maximum and minimum thickness of 1.64 cm and 0.6 cm, respectively, using a commercial 3D printer (Ultimaker 3)<sup>23</sup>. We measured the absorption coefficient of PLA at 120 GHz, 140 GHz, and 160 GHz to be  $1.17 \text{ cm}^{-1}$ ,  $1.08 \text{ cm}^{-1}$ , and  $1.35 \text{ cm}^{-1}$  respectively. The geometry of the axicon is designed to enable gains greater than the losses of the medium as indicated by the presented results.

The major difference in the setup for the Gaussian beam and for Bessel beam transmissions (in both linear and angular sweeps) is the sub-THz antenna used at the receiver side. While Gaussian beam measurements utilized identical sub-THz antennas (horn + lens) at the transmitter and receiver as illustrated in Fig. 7a,b, the measurements with Bessel beams used the same (horn + lens) antenna at the transmitter, but a simple horn antenna (without the lens) at the receiver as shown in Fig. 7c. The rationale for this change is not to corrupt the sub-THz Bessel beam (generated by a sequence of horn, lens, and an additional 3D-printed axicon, as in Fig. 7c) before it reaches the receiver.

**Post-processing the results for sub-THz Bessel beam**

The "Bessel, No Absorption Loss" results in Fig. 6 demonstrate what the received power would be assuming (i) that the same gain antenna is used at the power meter as in the Gaussian beam case, and (ii) that the Bessel

Scientific Reports | (2024) 14:19675 | <https://doi.org/10.1038/s41598-024-70542-z> nature portfolio 10

علاوه بر اثر فاصله، تغییرات زاویه‌ای تابش آنتن نیز در ناحیه‌ی نزدیک بررسی شد. برای این منظور، فرستنده و گیرنده روی میزهای دو محوره قابل برنامه‌ریزی و کنترل رایانه‌ای قرار گرفتند تا زاویه‌ی آنتن‌ها با دقت بسیار بالا تنظیم شود. ابتدا فاصله‌ی مشخصی بین آنتن‌ها برقرار شد و سپس با استفاده از الگوریتمی، بهترین هم راستایی آنتن‌ها به گونه‌ای انجام شد که بیشینه‌ی توان دریافتی حاصل شود.

زاویه‌ای افقی انجام شد و آنتن فرستنده با گام‌های کوچک چرخانده شد و توان Sweep پس از هم راستایی، دریافتی در هر زاویه ثبت گردید. این فرآیند برای هر فرکانس و در فاصله‌های مختلف تکرار شد تا رفتار زاویه‌ای آنتن در ناحیه‌ی نزدیک به‌طور کامل مشخص شود.

برای مقایسه، پرتوهای متداول و پرتوهای ویژه‌ی ناحیه‌ی نزدیک نیز بررسی شدند. پرتوهای متداول دارای شدت بالای مرکزی هستند که با فاصله کاهش می‌باید، در حالی که پرتوهای ویژه، تمرکز تنگ و حلقه‌های متعددالمرکز دارند که بخشی از انرژی سیگنال را حمل کرده و باعث خواص غیرواگرا و خودترمیمی پرتو می‌شوند.

برای تولید پرتو ویژه، یک منشور چاپ سه‌بعدی به آنتن فرستنده نصب شد که با طراحی دقیق زاویه، اندازه و جنس ماده، عمق تمرکز پرتو و تضعیف ناشی از ماده را کنترل می‌کرد. این پرتو در حدود سی سانتی‌متر عمق تمرکز داشت و ساختار آن به گونه‌ای بود که بهره‌ی سیگنال بیشتر از تضعیف ناشی از ماده بود.

در نهایت، تفاوت اصلی در گیرنده بود: برای پرتوهای متداول از آنتن مشابه با فرستنده استفاده شد، اما برای پرتوهای ویژه، تنها آنتن ساده بدون لنز به کار رفت تا شکل پرتو پیش از رسیدن به گیرنده تغییر نکند و نتایج واقعی ثبت شود.

— + ↻ | 11 of 13 | 🔍 | 🌐

www.nature.com/scientificreports/

beam is generated without any loss due to the material of the axicon. This additional set of curves is introduced to account for the fact that sub-THz Bessel beams can be generated using various methods that would not all have identical losses<sup>3,6,4</sup>. Hence, we complement the results achieved in our given measurement study with the results achievable in a similar setup but featuring a zero-loss generation of sub-THz Bessel beams, which serves as an upper bound for the sub-THz Bessel beam performance in the considered scenario.

To determine the received power curves in Fig. 6a, the following expressions are used. The “Bessel, No Absorption Loss” values are given by

$$P_{rx,Lossless}(f, d) = P_{rx,measured}(f, d) + G_{NF,Anterl}(f, d) - G_{VDI}(f) + L_{axicon}(f, d), \quad (2)$$

while the “Bessel” data, accounting for the difference in receiver antenna, is calculated according to

$$P_{rx}(f, d) = P_{rx,measured}(f, d) + G_{NF,Anterl}(f, d) - G_{VDI}(f). \quad (3)$$

$P_{rx,measured}(f, d)$  is the received power as a function of frequency and distance,  $G_{NF,Anterl}(f, d)$  and  $G_{VDI}(f)$  are the near-field gain of the Anterl antenna and far-field gain of the VDI antenna respectively, and  $L_{axicon}(f, d)$  is the absorption loss of the axicon.  $G_{NF,Anterl}(f, d)$  is given by:

$$G_{NF,Anterl}(f, d) = \frac{P_{rx,Gaussian}(f, d) - P_{rx,FSPL}(f, d) + 2G_{FF,Anterl}(f)}{2}, \quad (4)$$

where  $P_{rx,Gaussian}(f, d)$  is the measured power using both Anterl antennas,  $P_{rx,FSPL}(f, d)$  is the anticipated power according to FSPL (both shown in Fig. 1), and  $G_{FF,Anterl}(f)$  is the far-field gain of the Anterl antennas. Using knowledge of the geometry and the refractive index of the axicon<sup>3,5</sup>,  $L_{axicon}(f, d)$ , the absorption loss introduced by the axicon material as a function of distance, is calculated:

$$L_{axicon}(f, d) = e^{\beta(f)(0.006 + |w_0 - r_a(d)| \tan(\alpha))}. \quad (5)$$

As stated in Table 1, 0.006m is the minimum thickness of the axicon. In other words, the entirety of the beam travels through 0.006m of material before any other delay and phase shift is introduced.  $\beta$  is the frequency-dependent absorption loss of PLA,  $w_0$  is the radius of the axicon illuminated by the Anterl antenna,  $\alpha$  is the axicon angle, and  $r_a(d)$  is given by:

$$r_a(d) = \min\left(\frac{d - w_0 \tan(\alpha)}{\frac{1}{\tan(\alpha)} - \tan(\alpha)}, w_0\right). \quad (6)$$

Hence, these additional “Bessel, No Absorption Loss” results complement the measurement data in Fig. 6, covering a more general case. Specifically, these additional curves characterize the estimated behavior of sub-THz Bessel beams if they get generated by a lossless approach not involving any axicons<sup>3,6,4</sup>.

**Data availability**  
All data can be made available to readers upon reasonable request to the corresponding author.

Received: 1 March 2024; Accepted: 16 August 2024  
Published online: 24 August 2024

**References**

- Dang, S., Amin, O., Shihadeh, B. & Alouini, M.-S. What should 6G be? *Nat. Electron.* **3**, 20–29 (2020).
- Chen, W. et al. 5G—advanced toward 6G: Past, present, and future. *IEEE J. Sel. Areas Commun.* **41**, 1592–1619 (2023).
- Cai, M., Wu, Z., Lu, Y., Wei, X. & Dai, L. Near-field MIMO communications for 6G: Fundamentals, challenges, potentials, and future directions. *IEEE Commun. Mag.* **61**, 40–46 (2022).
- Alwis, C. D. et al. Survey on 6G frontiers: Trends, applications, requirements, technologies and future research. *IEEE Open J. Commun. Soc.* **2**, 836–886 (2021).
- Nokia. Nokia's vision for the 6G era. *White Paper* (2022).
- Samsung. 6G: The next hyper-connected experience for all. The vision on 6G. *White Paper* (2020).
- Rappaport, T. S. et al. Wireless communications and applications above 100 GHz: Opportunities and challenges for 6G and beyond. *IEEE Access* **7**, 78729–78757 (2019).
- Han, C. et al. Terahertz wireless channels: A holistic survey on measurement, modeling, and analysis. *IEEE Commun. Surv. Tutor.* **24**, 1670–1707 (2022).
- Giordani, M., Polenz, M., Mezzavilla, M., Rangan, S. & Zarzi, M. Toward 6G networks: Use cases and technologies. *IEEE Commun. Mag.* **58**, 55–61 (2020).
- Petrov, V., Guerhoulka, H., Mittelman, D. M. & Singh, A. Wavefront hopping: An enabler for reliable and secure near field terahertz communications in 6G and beyond. *IEEE Wirel. Commun.* **31**, 48–55 (2024).
- Al-Duffaise, S., Jumaah, A. J., Rubin, V. L. & Kusserow, T. Design and implementation of a terahertz lens-antenna for a photonic integrated circuits based THz systems. *Sci. Rep.* **12**, 1476 (2022).
- Jouret, J. M., Knightly, E. W. & Mittelman, D. M. Wireless communications sensing and security above 100 GHz. *Nat. Commun.* **14**, 841 (2023).
- Coskun, V., Ozdenzci, B. & Ok, K. A survey on near field communication (NFC) technology. *Wirel. Pers. Commun.* **71**, 2259–2294 (2013).
- Balanis, C. A. *Antenna Theory: Analysis and Design* (Wiley, 2015).
- Petrov, V., Becker, D. & Singh, A. Modular near-field terahertz communications for 6G and 7G networks: Research challenges. *Front. Commun. Netw.* **4**, 1151324 (2023).
- Zhang, H., Shlezinger, N., Guidi, F., Dardari, D. & Eldar, Y. C. 6G wireless communications: From far-field beam steering to near-field beam focusing. *IEEE Commun. Mag.* **61**, 72–77 (2023).

Scientific Reports | (2024) 14:19675 | <https://doi.org/10.1038/s41598-024-70542-z> nature portfolio 11

برای بررسی عملکرد بهینه پرتوهای ویژه، مجموعه‌ای از نتایج اضافه نیز ارائه شده است که فرض می‌کند تولید پرتوهای ویژه بدون هیچ تضعیف ناشی از ماده‌ی منشور انجام می‌شود. این نتایج نشان‌دهنده‌ی حد بالای عملکرد پرتوهای ویژه در سناریویی مورد بررسی است و به تکمیل داده‌های تجربی کمک می‌کند.

برای تحلیل دقیق توان دریافتی، اصلاحاتی بر اساس تفاوت بهره‌ی آنتن‌ها و تضعیف ناشی از منشور اعمال شد. این اصلاحات شامل بهره‌ی ناحیه‌ی نزدیک آنتن فرستنده، بهره‌ی آنتن گیرنده و تضعیف ناشی از ماده‌ی منشور بهعنوان تابعی از فاصله و فرکانس بود. ضخامت حداقل ماده، شعاع پرتو تابیده شده و زاویه‌ی منشور در محاسبات لحاظ شدند تا اثر کامل منشور بر پرتو ارزیابی شود.

نتایج اصلاح شده، رفتار برآوردهای پرتوهای ویژه در شرایط بدون تضعیف را نشان می‌دهد و می‌تواند به عنوان مرجع برای بررسی روش‌های تولید پرتوهای ویژه بدون منشور مورد استفاده قرار گیرد.

تمام داده‌های این مطالعه در صورت درخواست معقول، در دسترس خوانندگان قرار می‌گیرد.

## کد کامل در **Jupyter Notebook**

```
# =====
# Near-Field Channel Modeling for Sub-THz
# Full Version with 5 Plots
# Ready for Jupyter Notebook
# =====

import numpy as np
import matplotlib.pyplot as plt
from scipy.constants import c
from scipy.optimize import curve_fit

# -----
# System Parameters
# -----
```

```

f = 140e9          # 140 GHz

wavelength = c / f

Pt = 1

d = np.linspace(0.05, 2.0, 300) # distance in meters

# -----
# Far-Field Model (Friis)

# -----

def friis_model(d, wavelength):

    return (wavelength / (4*np.pi*d))**2

Pr_far = Pt * friis_model(d, wavelength)

# -----
# Near-Field Model

# -----

def near_field_model(d, wavelength):

    return (wavelength / (4*np.pi*d))**2 * (1 + 0.4*np.cos(2*np.pi*d/wavelength))

Pr_near = Pt * near_field_model(d, wavelength)

# -----
# Add Noise to Near-Field

```

```

# -----
np.random.seed(0)

noise = 0.05 * np.random.randn(len(d))

Pr_near_noisy = Pr_near * (1 + noise)

# -----
# Empirical Curve Fitting for Near-Field
# -----

def fitted_model(d, a, b):

    return (a/d**2) * (1 + b*np.cos(2*np.pi*d/wavelength))

params, _ = curve_fit(fitted_model, d, Pr_near_noisy)

Pr_fit = fitted_model(d, params[0], params[1])

# =====
# PLOT 1: Far-Field vs Near-Field
# =====

plt.figure(figsize=(8,5))

plt.plot(d, 10*np.log10(Pr_far), label="Far-Field (Friis)")

plt.plot(d, 10*np.log10(Pr_near), label="Near-Field")

plt.xlabel("Distance (m)")

plt.ylabel("Received Power (dB)")

plt.title("Far-Field vs Near-Field")

```

```

plt.legend()
plt.grid(True)
plt.show()

# =====

# PLOT 2: Near-Field + Curve Fitting
# =====

plt.figure(figsize=(8,5))

plt.plot(d, 10*np.log10(Pr_near_noisy), label="Simulated Near-Field (Noisy)")
plt.plot(d, 10*np.log10(Pr_fit), '--', label="Fitted Model")
plt.xlabel("Distance (m)")
plt.ylabel("Received Power (dB)")
plt.title("Near-Field Channel Modeling with Curve Fitting")
plt.legend()
plt.grid(True)
plt.show()

# =====

# PLOT 3: Gaussian Beam vs Bessel Beam
# =====

def gaussian_beam(d):

    return Pr_near * np.exp(-d/0.5) # simplified Gaussian decay

```

```

def bessel_beam(d):
    return Pr_near * (1 + 0.2*np.cos(2*np.pi*d/wavelength)) # simplified Bessel effect

Pr_gaussian = gaussian_beam(d)
Pr_bessel = bessel_beam(d)

plt.figure(figsize=(8,5))
plt.plot(d, 10*np.log10(Pr_gaussian), label="Gaussian Beam")
plt.plot(d, 10*np.log10(Pr_bessel), label="Bessel Beam")
plt.xlabel("Distance (m)")
plt.ylabel("Received Power (dB)")
plt.title("Gaussian vs Bessel Beam in Near-Field")
plt.legend()
plt.grid(True)
plt.show()

# =====
# PLOT 4: Noise Effect (Near-Field Clean vs Noisy)
# =====

plt.figure(figsize=(8,5))
plt.plot(d, 10*np.log10(Pr_near), label="Near-Field Clean")
plt.plot(d, 10*np.log10(Pr_near_noisy), label="Near-Field Noisy")
plt.xlabel("Distance (m)")

```

```

plt.ylabel("Received Power (dB)")

plt.title("Effect of Noise on Near-Field Channel")

plt.legend()

plt.grid(True)

plt.show()

# =====

# PLOT 5: Heatmap 2D of Received Power

# Distance vs Beam Angle Simulation

# =====

angles = np.linspace(-30,30,50) # beam angle in degrees

D, A = np.meshgrid(d, angles)

Pr_heatmap = (wavelength/(4*np.pi*D))**2 * (1 + 0.3*np.cos(2*np.pi*D/wavelength)) *
np.cos(np.radians(A))

plt.figure(figsize=(8,5))

plt.pcolormesh(D, A, 10*np.log10(Pr_heatmap), shading='auto', cmap='viridis')

plt.colorbar(label="Received Power (dB)")

plt.xlabel("Distance (m)")

plt.ylabel("Beam Angle (degrees)")

plt.title("Heatmap of Near-Field Received Power vs Distance and Angle")

plt.show()

# =====

```

```
# Print Fitted Parameters  
# =====  
print("Fitted Parameters for Empirical Near-Field Model:")  
print(f"a = {params[0]:.4e}")  
print(f"b = {params[1]:.4f}")
```